

*21351*

T.C.  
ÇUKUROVA ÜNİVERSİTESİ  
TIP FAKÜLTESİ  
ÇOCUK SAĞLIĞI ve HASTALIKLARI  
ANABİLİM DALI

**PARSİYEL EPİLEPSİLİ ÇOCUK HASTALARDA KLINİK,  
ELEKTROENSEFALOGRAFİ (EEG), BİLGİSAYARLI BEYİN  
TOMOGRAFİSİ (BBT), MANYETİK REZONANS  
GÖRÜNTÜLEME (MRG), SINGLE PHOTON EMISSION  
TOMOGRAFİ (SPECT) İLİŞKİSİ**

TEZ YÖNETİCİSİ  
Doç. Dr. ŞAKİR ALTUNBAŞAK

Dr. DİNÇER YILDIZDAŞ

UZMANLIK TEZİ

ADANA - 1998

## KISALTMALAR

ABD	Anabilim Dalı
Aİ	Aktivite İndeksi
BBT	Bilgisayarlı Beyin Tomografisi
BP	Basit Parsiyel
EEG	Elektroensefalografi
HF	High Frequency
HU	Hounsfield unite
ILAE	Ulusal Epilepsi Savaşım Birliği
I-123	İyot-123
JTK	Jeneralize Tonik-Klonik
KPE	Kompleks Parsiyel Epilepsi
KPN	Kompleks Parsiyel Nöbet
Li	Lateralite İndeksi
MRG	Magnetik Rezonans Görüntüleme
OPS	Ortalama Piksel Sayımı
PD	Proton Dansitesi
PET	Position Emission Tomografi
RF	Radyo Dalgası
Sek.Jen.	Sekonder Jeneralize
SPECT	Single Photon Emission Tomografi
SSS	Santral Sinir Sistemi
TC	Time Constant
Tc-99m	Teknesyum-99m
TE	Time Echo
TR	Time Repetition

## **İÇİNDEKİLER**

	<u>Sayfa No</u>
TABLO LİSTESİ.....	II
ŞEKİL LİSTESİ.....	III
ÖZET.....	IV
ABSTRACT.....	V
1.GİRİŞ .....	1
2.GENEL BİLGİLER.....	2
2.1. Epileptik Nöbetlerin Sınıflandırılması.....	4
2.2. Jeneralize Nöbetler.....	7
2.3. Parsiyel Nöbetler.....	10
2.4. Lokalizasyona Göre Nöbetlerin Özellikleri.....	17
2.5. Bilgisayarlı Beyin Tomografisi.....	18
2.6. Manyetik Rezonans Görüntüleme.....	19
2.7. Single Photon Emission Computed Tomography....	20
3.MATERİYAL ve METOD.....	22
4.BÜLGÜLAR.....	32
5.TARTIŞMA.....	42
6.SONUÇLAR.....	46
7.KAYNAKLAR.....	47

## TABLO LİSTESİ

	<u>Sayfa No.</u>
TABLO I .....	5
TABLO II.....	6
TABLO III.....	22
TABLO IV.....	26
TABLO V .....	32
TABLO VI.....	35
TABLO VII.....	36
TABLO VIII.....	36
TABLO IX.....	37
TABLO X.....	37
TABLO XI.....	38
TABLO XII.....	39
TABLO XIII.....	40
TABLO XIV.....	41

## **ŞEKİL LİSTESİ**

	<u>Sayfa No.</u>
ŞEKİL 1.....	23
ŞEKİL 2.....	24
ŞEKİL 3.....	24
ŞEKİL 4.....	25
ŞEKİL 5.....	27
ŞEKİL 6.....	27
ŞEKİL 7.....	28
ŞEKİL 8.....	30
ŞEKİL 9.....	31
ŞEKİL 10.....	35
ŞEKİL 11.....	38
ŞEKİL 12.....	39
ŞEKİL 13.....	40

## ÖZET

Bu çalışma Çukurova Üniversitesi Tıp Fakültesi Çocuk Nöroloji polikliniğinde parsiyel epilepsi tanısı ile takip edilen 102 hastada interiktal SPECT'in tanısı ne oranda destekleyici ve lateralizasyonu belirleyici olduğunu ve aynı zamanda klinik, EEG ve nöroradyolojik bulgularla SPECT arasındaki ilişkiyi araştırmak amacıyla yapıldı.

% 65 hastada EEG, % 22 hastada BBT, % 28 hastada MRG ve % 38.2 hastada SPECT anormal olarak saptandı. İnteriktal SPECT'te hipoperfüzyon saptanan hastaların 20'sinde (%51.2) hipoperfüze alan monofokal, 19'unda (48.8) multifokal, 9'unda (%24) bilateral, 30'unda (%76) unilateral idi. Hipoperfüze alanların anatomik dağılımı 17'i (%43.1) frontal lopda, 16'sı (%41) temporal lopda, 12'si (%31) oksipital lopda ve 19'u (%49) paryetal lopda idi. Nöbet tipi, nöbet sıklığı ve epilepsi süresi ile SPECT anormalliği arasında anlamlı ilişki bulunmazken ( $p>0.05$ ), nöbet başlangıç yaşı ile SPECT anormalliği arasında anlamlı ilişki saptandı ( $p<0.05$ ) ve nöbet başlangıç yaşı büyük olanlarda SPECT anormalligi daha yüksek bulundu. Nöbet tiplerine göre hastalar gruplandırıldığında SPECT'i anormal olan grupta L.İ. ve A.İ. ortalamaları yönünden farklılık saptanmadı ( $p>0.05$ ). Nöbetleri refrakter olan ve olmayan gruplar arasında SPECT anormallik yüzdesi, multifokal hipoperfüzyon yüzdesleri bakımından, L.İ. ve A.İ. ortalamaları yönünden farklılık saptanmadı ( $p>0.05$ ). Hastalar klinik, EEG, BBT, MRG bulguları pozitifliği arttıkça SPECT anormallığının yüzdesinin arttığı ve arasındaki ilişkinin anlamlı olduğu saptandı ( $p>0.05$ ). SPECT anormalliği ile EEG anormalliği arasında anlamlı ilişki olmamakla beraber, SPECT anormalliği ile BBT, MRG anormalliği arasında anlamlı ve pozitif bir ilişki olduğu saptandı. SPECT normal-anormal, EEG normal-anormal gruplar arasında MRG aksiyel kesitlerdeki hipokampal ve temporal lop kalınlıklarının ortalamaları yönünden anlamlı bir fark saptanmadı ( $p>0.05$ ).

Sonuç olarak parsiyel epilepsili hastalarda interiktal SPECT'in EEG'den çok nöroradyolojik görüntüleme araçları ile daha yakın bir ilişki içinde olduğunu, tanısında kuşku duyulan veya lateralizasyonu belirlenemeyen hastalarda ilave katkı sağladığını söyleyebiliriz.

**Anahtar Kelime:** Parsiyel epilepsi, EEG, BBT, MRG, interiktal SPECT.

## **THE CORRELATION BETWEEN CLINIC, EEG, CT, MRI AND INTERICTAL SPECT IN PATIENTS WITH PARTIAL EPILEPSY**

### **ABSTRACT**

This study was conducted in department of pediatric neurology in Çukurova University medical faculty, with 102 children who have been followed up for partial epilepsy, with the aim of evaluating the value of interictal SPECT for exploring laterisation and supporting diagnosis and additionally to investigate the correlation between clinic, EEG, neuroradiologic findings and SPECT.

In 65 % of the patients EEG, in 22 % CT, in 28 % MRI and 38.2 % interictal SPECT was found to be abnormal. 20 % of the patients who were observed to have hypoperfusion in the interictal SPECT, the hypoperfused area was monofocal in 20 patients (51.2%), in 19 patients multifocal (48.8%), in 9 patients (24%) bilateral, and in 30 patients unilateral (76%). The anatomical distribution of hypoperfused areas were frontal lobe in 17 patients (43.1%), temporal lobe 16 patients (41%), occipital lobe in 12 patients (31%), and parietal lobe 19 patients (49%). There is not a direct correlation between seizure type, seizure frequency, duration of epilepsy and SPECT abnormality whereas there was a significant correlation between the age of seizure onset and abnormal SPECT, and the ones with older seizure onset was found to have higher SPECT abnormality. When the patients were grouped according to their seizure type in abnormal SPECT group, there was no significant difference between mean L.I. and A.I ( $p>0.05$ ). Furthermore, the groups with refractor seizures and nonrefractor seizures, the percentage of SPECT abnormality was not different in terms of the multifocal hypoperfusion percentage and L.I. and A.I. averages ( $p>0.05$ ). Positive clinic, EEG, CT, MRI findings correlated with the percentage of SPECT abnormality. This was proved significant ( $p<0.05$ ). Although there was no significant correlation between SPECT abnormality and EEG abnormality, there was a significant and positive correlation between SPECT abnormality and MRI, CT. There was no significant abnormality between SPECT normal-abnormal group and EEG normal-abnormal group in terms of the averages of the thickness of temporal lobe and hippocampal in axial sectional areas.

As a result, we can say that in the patients with partial epilepsy, interictal SPECT is in more correlation with neuroradiologic imaging techniques than with EEG, and in uncertain diagnosis or insignificant lateralisation, it adds to the patients data.

**Key Words:** Partial epilepsy, EEG, CT, MRI, interictal SPECT.

## **1. GİRİŞ**

Epileptik nöbetlerin sekonder jeneralize mi, primer jeneralize mi olduğu klinik olarak her zaman ayırdedilemeyeceği gibi interiktal EEG'de bilateral senkron olduğu izlenimini veren subkortikal deşarjların fokal başlangıcı olup olmadığı her zaman anlaşılamamaktadır. Bu durum özellikle frontal lob kaynaklı nöbetler için söz konusu olabilmektedir. Bu ayırımın tedavi, прогноз ve cerrahi yaklaşım yönünden çok önemli olduğu iyi bilinmektedir.

Epilepsi cerrahisinin başarısı epileptik odağın doğru belirlenmesine bağlıdır (14). Bu da incelikli elektrofizyolojik ve nörogörüntüleme tekniklerinin kullanılmasını gerektirir (10). Parsiyel epilepsili hastalarda PET hipometabolik bölgeleri %80 oranda belirleyebilmiştir (4,5,6,11). Ancak pahalı bir tekniktir ve her merkezde bulunmaz. İktal SPECT ise epileptik odağın belirlenmesinde % 95'e yakın oranda doğru sonuç vermektedir(40). Ancak iktal SPECT yatan hastaya uygulanabilmekte ve her istediği zaman hasta nöbet geçirmediği için bu çekimi yapmak her zaman mümkün olmayabilmektedir. Kısa yarı ömürlü ve kan beyin bariyerini kolay geçen HM-PAO ile interiktal SPECT çekimi ise hospitalizasyonu gerektirmemektedir. Ancak epileptik odağın belirlenmesinde iktal SPECT ve PET kadar sensitif olmadığı tespit edilmiştir (40).

Şimdiye kadar yapılan çalışmalarda BBT'nin parsiyel nöbetlerde % 22-45 oranda (1,3,35,48,49), MR'ın % 20-86 oranda (1,3,12,15,20,35,48,49) etyolojiye ışık tuttuğu, epilepsi tanısında klinik ve EEG'e destek verdiği bildirilmiştir. Parsiyel nöbetlerde interiktal yüzeyel elektrotlarla çekilen EEG %25 oranda normal olabilmektedir. Bu vakalarda eğer MR da normalse epilepsi tanısından kuşku duyulabilmektedir. Böyle durumlarda interiktal SPECT destekleyici bilgi verebilmektedir.

Parsiyel ve/veya sekonder jeneralize nöbetli epileptik çocuklarda konvansiyonel yüzey elektrotlu EEG, BBT ve MRG'e ilave olarak Tc-99m HMPAO SPECT'in tanıyı destekleyici ve epileptik odağı belirlemeye yardımcı bir görüntüleme yöntemi olup olmadığını araştırmak amacı ile interiktal SPECT bulguları ile EEG, BBT ve MRG bulguları arasındaki ilişki incelendi.

## **2. GENEL BİLGİLER**

Epilepsinin tarihi insanlık tarihi kadar eskidir. İlk zamanlar ve halen çok seyrek olmakla beraber dünyanın bazı yörelerinde bir takım sihirler, dinsel ayinler ve bilim dışı yöntemlerle tedavi edilmektedir. Hippokrates, yirmibeş asır önce bu hastalığın organik bir nedeni olduğuna işaret etmiş, ancak o tarihten bir asır öncesine kadar insanların bu hastalığa karşı tutumlarında büyük bir değişiklik görülmemiştir. Yüzyıllar sonra Jackson çalışmaları ile yeni bir dönem açarak epilepsinin ilk bilimsel tanımını yapmış ve epilepsiyi "beynin özellikle gri cevherinin akut ve lokal deşarşları "olarak tarif etmiştir (27).

Epilepsi, Çocuk Nörolojisinin en önemli kronik hastalığı olup, genel prevalansı %0.5-1 olarak kabul edilmektedir.

Epilepsi; (Yunanca "Epilepsia") değişik nedenlerle beyinde nöronal hücrelerin anormal elektriksel boşalımı ile ortaya çıkan epizodik serebral disfonksiyondur. Epileptik atak bir hastalık olmayıp, farklı etkenlere bağlı bir semptomdur. Klinik ve elektriksel bulgular olayın başladığı ve yayıldığı lokalizasyona göre ayrıcalık gösterir. Nöbet sırasında görülebilen bilinc kaybı, anormal sensoriyal veya motor aktivite (tonik veya klonik kontraksiyon), vejetatif veya entellektüel davranışta fonksiyon bozukluğu tekrarlayıcı nitelikte (paroksismal) ise 'epilepsi' deyimi kullanılır. Bu kelimenin iki anlamı olduğu kabul edilir. Birincisi; hastalığın şeytanların yakalaması neticesinde "saldırı-atak-hamle" şeklinde oluşan bir kavram olduğu inancıdır. Bu kavram özellikle hastaların bilinçlerinin kaybolduğu, vücutlarının ajite bir şekilde sarsıldığı ve sanki bir taraftan kontrol ediliyormuşçasına hareket ettiği epileptik nöbetler için kullanılmıştır. İkinci anlamı olan yakalamak ise; "aniden oluşan ve hastaya nöbet ve sonrası olaylardan kaçma şansı vermeden yakalayan" hastalık olarak yorumlanmaktadır.

Epileptik atakların bu ani ve beklenmeyen doğası "hem şeytanlar hakimiyetinde olduğu düşünülen büyü kavramını, hem de daha mantıklı olan tahmin edilemez olmasını" açıklamaktadır.

Beyin fonksiyonlarının bozulması sadece epilepside görülmez. Eski zamanlarda histerik nöbetler, senkop ve uyurgezerlik epileptik ataklarla karıştırılırken artık günümüzde ayrılabilmektedir. Jackson'un yaptığı "epilepsi, gri cevherin ani, ara sıra olan, aşırı, hızlı ve lokal boşalımlarıdır" tanımı modern epileptik anlayışın temelini oluşturur.

EEG, epileptik nöbetlerin karakterizasyonu için gereklidir. Epileptik deşarjin en önemli karakteri yüksek amplitüdü ve ritimli olmasıdır. Her epileptik deşarj, bir epileptik nöbete karşılık gelmez. Böyle durumlar subklinik nöbetler olarak tanımlanabilir. Epileptik

nöbetlerin senkop ve histerik ataklar gibi paroksismal bozukluklardan ayırd edilmesinde de bu deşarjların varlığı yada yokluğundan istifade edilir.

*Konvülsyonlar* (*Latince "Convulsio"*), sürekli (tonik) yada kesintili (klonik) istemsiz kas kontraksiyonlarıyla giden ataklardır. Spesifik bir mekanizmayı belirtmez. Her konvülsyon epilepsi olmadığı gibi epileptik atakların bir kısmı da konvülsyon ile seyretmeyebilir. Pediatristler uzun zamandır konvülsyon terimini tek tük olan (febril nöbet gibi) nöbetleri belirtmek için kullanmışlardır (rekürrens gösteren epilepsiye zıt olarak). Ancak pratik olarak epileptik ve nonepileptik konvülsyonları birbirinden ayırmak gereklidir. Epilepsi terimi birçok aile için korkutucu ve tedavi edilemez bir hastalığı ifade etmektedir. İnsan beyni bazı presipitan faktörlerle nöbet oluşturabilir. Özellikle çocuklarda SSS'nin dışındaki bazı metabolik değişiklikler epileptik nöbeti uyarabilir. Ayrıca, kafa travması gibi olaylarla da ortaya çıkabilir. Konvülsyonlar sadece presipitan faktörlerin varlığında oluşur. Febril konvülsyon bunun için iyi bir örnek teşkil eder. Yani presipite edici faktörlerin varlığında oluşan ve rekürrens göstermeyen nöbetler epilepsi olarak değil konvülsyon olarak kabul edilir. Epilepsi ise konvülsyonların belirli bir paroksizm içerisinde tekrarlama olayıdır.

Epilepsi belirlenebilir bir SSS dışı bozukluk olmadan tekrarlayan kronik bir durumdur. Rekürren paroksismal disfonksiyon, primer olarak yapısal beyin anormalliklerinin bulunmasından veya nöbete intrensek konstitüsyonel bir eğilim yüzünden oluşur. Bu eğilim bazı genetik faktörlerle açıklanır. Genetik ve/veya konstitüsyonel faktörler ve yapısal anormallikler genelde aynı hastada değişik oranlarda vardır.

Epilepsinin tanımlaması ve klasifikasyonu zorluklarla doludur. Epilepsi gibi tek bir terim nöbet oluşumunu, klinik spektrumunu ve sayısız paternlerini açıklamaya yetmez. Bütün bu güçlükler epilepsinin bir “hep yada hiç” fenomeni olmadığını göstermektedir (26).

## **2.1. EPILEPTİK NÖBETLERİN SINIFLANDIRILMASI**

Epileptik nöbetlerin ilk klasifikasyonu Uluslararası Epilepsiyle Savaşım Birliği (ILAE) tarafından 1969 yılında kabul edilmiştir. 1969 ILAE sınıflaması altı kriterde dayanır: Bunlar nöbetin klinik tipi, EEG'nin interiktal ve iktal özellikleri, anatomik durum, etyoloji ve yaşıdır. Bu klasifikasyon dört ana grubu içerir: Parsiyel nöbetler, jeneralize nöbetler, unilateral yada predominant unilateral nöbetler ve sınıflandırılmayan nöbetler. 1969 ILAE klasifikasyonu 1981 yılında yeniden düzenlenmiş olup, halen bazı anlaşmazlıklar olmakla birlikte günümüzde bu klasifikasyon kullanılmaktadır (Tablo I). Bu klasifikasyonda bir öncekinden farklı olarak sadece klinik nöbet tipi, iktal ve interiktal EEG bulguları kriter olarak alınmıştır. Parsiyel nöbetlerin basit ve kompleks olarak ayrimı bilinç bozulmasının varlığı esasına dayandırılmıştır. Burada bilinçli olma durumu, hastanın uyanıklık ve/veya çevresel uyarınlara cevap verebilme derecesi olarak tanımlanmaktadır.

Son yıllarda epilepsi klasifikasyonundan çok epileptik sendromları şekillendirecek bir tablo yapmak için çalışmalar yoğunlaştırılmıştır. ILAE, 1989 yılında epileptik sendromları bir arada toplayan uluslararası epilepsi ve epileptik sendrom klasifikasyonu ortaya çıkarmıştır (Tablo II).

Epileptik sendromlar, bir arada oluşan belirtiler ve semptomlar topluluğudur. Bu bulgu ve semptomlar nöbetin tipini, rekürrens sıklığını, nörolojik bulgularını ve nöroradyolojik özelliklerini içerir. Bir sendromun birden çok nedeni ve değişik sonuçları olabilir. Bazı epileptik sendromlar ortak klinik-EEG bulgularını içermekle kalmaz belirgin ortak seyir gösterir (10).

Tablo I. Epileptik nöbetlerin klasifikasyonu (ILAE 1981) (10):

**1-Parsiyel (Fokal, lokal) Nöbetler**

-Basit parsiyel nöbetler

A1-Motor bulgularla birlikte; motor, jacksonian, postural, versif, fonotuvar

A2-Otonomik semptom ve bulgularla birlikte

A3-Somatosensorial veya özel sensorial semptomlarla birlikte; basit hallüsinasyonlar (örneğin; ışık patlaması, kulak çınlaması) görsel, duyusal, kokuya ilgili, tadla ilgili, baş dönmesiyle ilgili

A4-Psişik semptomlarla birlikte (yüksek serebral fonksiyon bozuklukları): Disfazik, dismnezik, kognitif, affektif illüzyonlar, yapısal hallüsinasyonlar

-Kompleks parsiyel nöbetler (Bilinç kaybı ile birlikte olan)

Basit parsiyel başlayıp bilinç kaybı ile devam eden nöbetler (A1-A4)

Otomatizmalar ile birlikte olan nöbetler

-Parsiyel başlayıp sekonder jeneralize tonik klonik (JTK) nöbetlere dönüşen nöbetler

JTK'ya dönüşen basit parsiyel nöbetler

JTK'ya dönüşen kompleks parsiyel nöbetler

Kompleks parsiyel nöbetlere ve ondan sonra da JTK' hale dönüşen basit parsiyel nöbetler

**2-Jeneralize nöbetler\***

Absans nöbetleri (Bilinç bozulmasına ilave olarak klonik, atonik, tonik veya otonomik komponentlerle tek veya kombine halde)

Atipik absans nöbetleri (Daha belirgin tonüs değişikliği, başlangıç ve/veya bitiş anı değil)

Miyoklonik nöbetler (Tek veya multipl)

Klonik nöbetler

Tonik nöbetler

Tonik klonik nöbetler

Atonik nöbetler

\*Burada sıralanan farklı nöbetler kombinasyonları halinde de karşımıza çıkabilir.

Tablo II. Epilepsiler ve epileptik sendromların internasyonel sınıflaması (ILAE 1989)(10)

I. Lokalizasyona bağlı (fokal, lokal, parsiyel) epilepsi ve sendromlar

1.1. İdiyopatik (başlangıç yaşına göre)

- \* Sentrotemporal dikenli benign çocukluk çağrı epilepsisi
- \* Oksipital paroksizmleri olan çocukluk çağrı epilepsisi
- \* Primer okuma epilepsisi

1.2. Semptomatik

- \* Kronik progresif epilepsi parsiyalis kontinua (Kojewnikow Sendromu)
- \* Özel biçimlerde ortaya çıkan nöbetlerle karakterize sendromlar
- \* Temporal, frontal, parietal, oksipital lob epilepsileri

1.3. Kriptojenik epilepsiler

- \* Temporal, frontal, parietal, oksipital lob epilepsiler

2. Jeneralize epilepsiler ve sendromlar

2.1 İdyopatik epilepsiler

- \* Bebeklik dönemi benign miyoklonik epilepsisi
- \* Çocukluk çağrı absans/Juvenil absans epilepsisi
- \* Uyanıklıkta ortaya çıkan jeneralize tonik-klonik nöbetler
- \* Özel şekilde ortaya çıkan nöbetler
- \* Diğer idyopatik jeneralize epilepsiler

2.2 Kriptojenik veya semptomatik epilepsiler

- \* West Sendromu (İnfantil spazm)
- \* Lennox-Gastaut Sendromu
- \* Miyoklonik astastik nöbetlerle karakterize epilepsiler
- \* Miyoklonik absansla karakterize epilepsiler

2.3 Semptomatik epilepsiler

- 2.3.1 Non-spesifik etyolojili
  - \* Erken miyoklonik encefalopati
  - \* Süpreyon burstleri ile giden erken infantil epileptik encefalopati
  - \* Diğer semptomatik jeneralize epilepsiler
- 2.3.2 Spesifik nörolojik hastalıklara bağlı epilepsiler

3. Fokal veya jeneralize olduğu belirlenemeyen epilepsi ve sendromlar

3.1. Hem jeneralize hem fokal olan nöbetler

- \* Bebeklik dönemi ciddi miyoklonik epilepsisi
- \* Akkiz epileptik afazi (Landau-Kleffner Sendromu)
- \* Diğer sınıflandırılamayan epilepsiler

3.2 Fokal veya generalize görünüşün belirgin olmadığı durumlar

4. Özel duruma bağlı epilepsiler

- \* Febril konvülsiyonlar
- \* İzole nöbetler veya status epileptikus
- \* Akut toksik veya metabolik nedenlere bağlı nöbetler

## **2.2 JENERALİZE NÖBETLER**

### Absans nöbetler

Ani bilinç kaybı ile kendini gösteren, 2-13 yaşları arasında ortaya çıkan, altı-yedi yaşlarında pik yapan, otozomal geçiş gösterdiği ve poligenik faktörlerin etkili olduğu düşünülen bu epilepsi türünün çok tipik bir EEG paterni vardır; 3cyc/sn diken yavaş dalga kompleks deşarjları bilateral senkron ve jeneralize olarak ortaya çıkar. Bu bulgu en iyi hiperventilasyon sırasında gözlenir. Okul döneminde görülen epilepsilerin % 8'ini oluşturur. Kız çocuklarında erkek çocukların daha sık görülür.

Absans nöbetleri tipik ve atipik olarak iki gruba ayrılır. Tipik nöbetler de, basit ve kompleks olarak iki grupta sınıflandırılmıştır. Tipik basit absans; postüral tonüste değişiklik olmadan bilinç bozulmasıyla seyreder. Bu sırada hasta karşısındaki bir noktaya dalgın dalgın bakar, göz kapaklarında flutter tarzında haraketler ve ağız çevresinde hafif çekilmeler görülür. Bu hareketler beş ile 20 sn kadar sürebilir. Aynı gün içinde 50 ile 100 arasında absans nöbeti görülebilir. Nöbetlerin sonunda hasta aniden normale döner ve hiç bir şey olmamış gibi nöbet başlamadan önce yaptığı işe bıraktığı yerden devam eder. Postiktal konfüzyon ve halsizlik görülmez. Çocuk nöbet geçirdiğini farketmez. Öğretmenleri tarafından dalgınlığı, derslerini dinlemediği veya elinden aniden kalemlerini düşürdüğü şeklinde ifade edilebilir. Çocuk bazen yapmakta olduğu işe devam eder. Örneğin bardak dolduğu halde, su doldurmaya devam etmesi gibi. Tipik basit absans formuna piknolepsi denir. Çocuklar nörolojik ve mental yönden normaldir.

Kompleks absans basitten daha siktir. Penry ve arkadaşları yaptıkları çalışmada 347 absans epilepsili hastayı incelemişler ve sonucunda: %9.6'sının basit, %90.4'ünün kompleks absans olduğunu saptamışlardır. Kompleks absans vakalarının da %63.1'inin otomatizmli, %45.5'inin klonik komponentli ve %22.5'inin de atonik komponentli oldukları gözlenmiştir. Göz kapağının flutter hareketi klonik komponenti, ağız şapırdatma, çığneme, parmak, el, kol, omuz hareketleri ise otomatizmi oluşturur. Atonik komponent ise baş ve kollarda ani düşme, elde tutulan nesneyi yere düşürme şeklinde dir. Tonik komponent postural tonüste hafif artma, göz ve basın yukarıya deviasyonu şeklinde gözlenir. Otonomik komponentte ise absans nöbetleri ile birlikte idrar inkontinansı, solukluk, midriasis, taşikardi gibi bulgular vardır. Otomatizm ve diğer komponentler çocukluk çağı absans epilepsisinin kompleks parsiyel nöbetlerle karışmasına yol açar. Klinik ve EEG özellikleri ile nöbetlerin hiperventilasyona

aktive olup olmamasıyla ayırd edilir. Prognozu iyi olan bir epilepsi türüdür. Çoğu merkezde, iki yıllık tedavi yeterli bulunmaktadır. Vakaların bir kısmında jeneralize tonik-klonik nöbetler ortaya çıkabilmektedir. % 10 vakada absans status bulunmaktadır. Sadece absans nöbeti ile gelen vakada etosüksimid ile tedaviye başlanabilir. Jeneralize nöbetler ortaya çıktığında valproik asit en uygun ilaçdır. Sato ve arkadaşları yaptıkları çalışmada, 48 absans epilepsili hasta incelemişler ve hastalarının %90'ında rekürrens ve mental gerilik olmadığını saptamışlardır (39, 41).

Atipik absans nöbetler hem klinik hem de EEG bulgusu olarak tipik absanstan farklıdır. Tonüs değişiklikleri daha belirgindir. Başlangıç ve bitiş ani değildir. EEG'de 3 cys/sn'lık deşarjlar yerine 2-2.5 Hz'lik deşarjlar ortaya çıkar. Simetri düzgün olarak görülmez, hızlı aktivite ve düzensiz diken ve yavaş dalga kompleksleri veya diğer paroksistik değişiklikler görülebilir. Bazı vakalarda mental retardasyon ve tedaviye direnç vardır. Tedavi tipik absansdaki gibidir.

Miyoklonik Nöbetler Miyoklonus tek kas yada daha sıkılıkla kas gruplarının ani, hızlı, istemsiz kontraksiyonu yada inhibisyonu olup SSS'nin foksiyonel bozukluklarına bağlıdır. Myoklonik nöbet, çocukluk veya adolesan çağda görülebilir, vücutun bir tarafındaki veya her iki tarafındaki kol ve bacakta 1-5 sn süreli, senkronize ani sıçramalardır. EEG'de bilateral, senkronize spike-polispike deşarjlarla karakterizedir. Majör komponenti miyoklonik nöbet olan klinik sendroma miyoklonik epilepsi denir. Benign gidişli olabileceği gibi progressif nörolojik bir sendromun komponenti şeklinde de olabilir. Miyoklonus epileptik ya da nonepileptik olabilir. Nonepileptik miyoklonuslar içinde; hiçkirk, aksırık, uykı jerkleri, tıkler, startlı refleksi ve spinal miyoklonus sıralanabilir. Miyoklonus veya miyoklonik nöbetler herediter kaynaklı olabildiği gibi ensefalopatik bozukluklar veya fokal beyin lezyonları sonucu gelişebilir. Örneğin; hipoksik iskemik ensefalopati, viral ensefalit, baktarial menenjitis, metabolik bozukluklar, dejeneratif hastalıklar, vaskülit ve tümörler (18).

Miyoklonik nöbetlerin ön planda olduğu epileptik sendromlar, infantil spazm (West sendromu), benign infantil miyoklonik epilepsi, malign infantil miyoklonik epilepsi, miyoklonik astatik epilepsi, Lennox-Gastaut sendromu, juvenil miyoklonik epilepsi ve progressif myoklonik epilepsi sayılabilir.

## Jeneralize Tonik-Klonik Nöbetler

Jeneralize tonik klonik nöbetler (JTK) grand mal epilepsi olarak da bilinir ve epileptik nöbetlerin prototipidir. Homojen bir grup olmayıp çeşitli klinik durumlarda gözlenir. Diğer nöbetlerle birlikte olabilir (örneğin; erken çocukluk döneminde absans ve miyoklonik nöbetler) ya da bunları takiben görülebilir. Çocukluk döneminin sık görülen nöbetlerinden olup, üç yaş altında görülmesi mutat değildir. Fizyopatolojik olarak üç alt grupta incelenir.

1-Jeneralize başlangıç: (Primer JTK) Sıklıkla idiopatik epilepsi belirtisi olup, öncesinde miyoklonik jerklerin olması siktir.

2-Parsiyel epilepsinin (daha sık basit parsiyel) sekonder jeneralize olmasıyla oluşan JTK: Bu grupta başlangıçta parsiyel nöbetler motor, duyusal ya da diğer formlarda olup ardından JTK nöbetler görülebildiği gibi jeneralize başlangıçlı da olabilir. Jeneralize epilepsinin parsiyel epilepsinin ardından ortaya çıkan sekonder jeneralize nöbet olduğu EEG ile anlaşılır.

3-JTK nöbetler multipl birbirinden bağımsız fokuslarından yayılır: Bu durumda JTK nöbetler sıklıkla diğer nöbet tipleri ile birliktedir. Bu grup daha az regüler EEG paterni içerir.

Tonik komponent ani bilinç kaybı ve düşme ile başlar. Ekstremitelerde adduksiyon, ekstansiyon ve gövdede gerilme şeklinde görülür. Hasta rıjit ve fleksiyon postürünu takiben ekstansiyon postürüne döner. Opistotonus sık değildir. Diafram ve interkostal kasların kontraksiyonu ile solunum inhibe olur ve siyanoz gözlenir. Bu sırada glottiste kısmi kapanmaya karşı zorlu ekspirason vardır ve boğuk seslerin çıkışmasına neden olur. Trismus ve apne görülebilir. 10-30 sn kadar sonra tonik fazı takiben başta retrofleksiyon, üst ekstremitelerde fleksiyon, alt ekstremitelerde ekstansiyon ile karakterize klonik jerkler görülür. Jerkler bilateral ve simetriktir. Jerkler esnasında dil ısırılabilir, ağızdan köpük gelebilir. 30-60 sn kadar sonra kaslarda gevşeme olur. Dikkatli bir gözlemle kaslarda gevşeme öncesi ikinci tonik atak gözlenebilir. İkinci atakta özellikle sefalik kaslarda kontraksiyon olur. Hasta birkaç dakika ya da daha uzun süre bilincsiz kalır, bunu ciddi baş ağrısı ve konfüzyon takip eder. Üriner inkontinans vakaların üçte birinde görülür. Fekal inkontinans ise nadirdir. Taşikardi, yüzde kızarma, salivasyon ve hipertansiyon gibi otonomik bulgular da olabilir. Nöbetten sonra hastalarda 30 dakika ile birkaç saat sürebilen derin uykuya görülür. Atipik JTK nöbetler çocuklarda daha siktir ve tonik faz klonik fazdan daha uzundur, klonik faz birkaç jerkten ibaret olabilir. Tonik kontraksiyon asimetrik olabilir.

Sadece tonik komponentin hakim olduğu nöbetlere jeneralize tonik nöbetler denir. Tonik nöbetlerin uzaması durumunda vertebralarda kompresyon fraktürleri gibi yaralanmalar gelişebilir. Aynı şekilde jeneralize nöbet yalnızca klonik komponent şeklinde görülebilir ve jeneralize klonik nöbetler olarak adlandırılır. JTK nöbetler esnasında interiktal EEG normal

olabilir veya değişik sıklıkta bilateral epileptiform deşarjlar görülebilir. Nöbet başlangıcında tonik fazla korelasyon gösteren bilateral, senkron jeneralize diken bürstleri görülür. Tonik fazın sonuna doğru diken dalga sıklığı giderek azalır ve yerini klonik faza eşlik eden bilateral senkron ve jeneralize yavaş dalga aktivitesine bırakır. Bu deşarjlar bitip, klinik olarak nöbet sona erdiğinde, EEG de de jeneralize voltaj supresyonu görülür.

JTK nöbetler gelişmekte olan beyin üzerine zararlı etkiler yaparak mental retardasyon ve psişik bozuklukara sebep olabilir. Bu yüzden etkin ve yeterli tedavi uygulanmalıdır. Tedavide fenobarbital, fenitoïn, karbamazepin kullanılabilir (39).

### **2.3. PARSİYEL NÖBETLER**

Lokalizasyona bağlı epilepsi ve sendromlar, bulgular veya semiyolojik yönden nöbetin lokalize bir kaynağı olduğunu gösteren epileptik hastalıklardır. Lokalizasyona bağlı epilepsilerin semptomatik grubunun çoğunda, epileptojenik lezyon bir serebral hemisferin bir bölgesinden kaynaklanabilir, oysa idiyopatik grupta her iki hemisferin homolog bölgeleri tutulmuş olabilir.

Parsiyel nöbetler, şuur bozulması olmadığı zaman basit, şuur bozulması olduğu zaman kompleks olarak tanımlanır. Basit parsiyel nöbetler kompleks parsiyel nöbetlerin içine girebilir ve bunların her ikisi de sekonder jeneralize nöbete dönüşebilir. Basit veya kompleks parsiyel nöbetlerin kaynaklandığı anatomik bölgeye göre (Temporal, frontal, parietal ve okcipital lob) klinik belirtileri ve elektroensefalografik bulguları değişkenlik gösterir.

**Basit Parsiyel Nöbetler:** Komplike olmayan motor ve duyu semptomlar genellikle uygun kortikal sahanın yakınında veya içindeki lezyonu gösterir. Otonomik ve psişik semptomlar genellikle limbik sistemin lezyonları ile birliktedir. Özellikle temporal lobun mesial yapılarından kaynaklanır. Ayrıca beynin herhangi bir bölgesindeki epileptojenik lezyondan limbik sahaya iktal deşarjların yayılımı ile de oluşabilir. Basit parsiyel nöbetlerin semptomları sıklıkla epileptiform aktivitenin kaynaklandığı yeri gösterir.

Basit parsiyel nöbetlerde görülen motor belirtiler klonik veya tonik olabilir, vücutun herhangi bir bölümünü tutabilir. Klonik motor nöbetler motor homonkulustaki vücut parçasının hacmi ile direkt ilişkili spesifik vücut bölgesini etkiler. Fokal klonik nöbetlerin çoğu yüz ve eli tutarlar.

Oksipital lezyonlar göz kapama, perioküler kasların seyirmesi şeklinde göz hareketlerine, temporal lob lezyonları ağız, yanak, dil ve farenks hareketlerine neden olur.

Nadiren fokal klonik nöbetler vücutun bir parçasında başlar ve yavaş olarak komşu kas gruplarına yayılır. Bu klasik Jacksonian nöbetlerdir, presentral girustaki fokal lezyonlara daha iyi korele edilebilir.

Tonik motor nöbetler klonik olanlara göre daha az anatomik korelasyon gösterir. Bunlar genellikle gözler, baş ve bütün vücutun bir tarafına yavaş dönmesini içeren versif hareketlerdir. Ekstremitelerde asimetrik, distonik postür olabilir. Suplementer motor nöbetlerin klasik görünüşü bir kolda fleksiyon ile başın dönmesi ve diğer kolun ekstansiyonudur. Bunlar genellikle konuşmada duraklama veya ses çıkartma, bacak postürü ile birliktedir.

Afazik nöbetler motor semptomları olmayan nöbetler olabilir. Kısa konuşma duraklaması epizodları dominant hemisferin motor sahasının iktal dönemde etkilenmesi ile oluşur.

Basit parsiyel nöbetlerde duyu semptomları negatif veya pozitif olabilir ve genellikle primer duyu korteksi civarındaki epileptik bir lezyonun varlığını gösterir.

Somatosensoriyal semptomlar genellikle postsentral veya presentral sahadan kaynaklanır. Lokalize parestezilerden ibarettir. Pozitif semptomlar genellikle rahatsızlık, huzursuzluk ve ağrı hissi şeklinde olur. Nadir olarak da bir vücut parçasının yokluğu şeklinde negatif duyu olabilir. Bu genellikle sağ parietal tutuluma bağlıdır.

Pozitif vizuel semptomlar genellikle beyaz veya renkli parlak noktalar veya ışık çäkmaları şeklindedir. Bu görüntüler hareketli veya durgun olabilir. Küçük skotomlar, görme alanı defektleri veya körlük şeklinde negatif vizuel semptomlar da olabilir. Pozitif ve negatif şeklärizmiz vizuel semptomlar karşı taraf oksipital lobdaki bir epileptojenik lezyonla oldukça yüksek korelasyon gösterir.

İşitsel semptomlar sıkılıkla lateral temporal lobdaki lezyonlarla birlikte olur. Tıslama, çinlama, vizıldama, seslerde artma, azalma şeklindeki pozitif semptomlar, nadir olarak sağırlık şeklindeki negatif semptomlar görülebilir.

Olfaktor semptomlar genellikle anterior mezial temporal ve orbital frontal yapılarındaki lezyonlarda görülür. İktal koku alma duyusu (parosmi) genellikle uygunsuz kokular şeklindedir. Anosmi nadiren görülür ve genellikle farkedilmez.

Vertiginöz semptomlar lateral temporal ve parietal lobların epileptojenik lezyonlarından oluşur. Hastalar hafif bir baş dönmesinden şikayet ederler.

Otonomik semptomlar sıkılıkla temporal ve frontal lobların limbik parçalarının epileptiform deşarjları ile birliktedir. İktal otonomik semptomların en yaygın olanları

abdominal huzursuzluk, bulantı, sıkılıkla boğaza doğru yükselen huzursuzluk hissi (epigastrik yükselme), mide ağrısı, guruldama, geçirme, gaz çıkarma, kusma gibi gastrointestinal semptomlardır. Bu iktal semptomlar çoğunlukla abdominal epilepsi gibi algılanmışlardır. Diğer otonomik semptomlar solukluk, kızarıklık, terleme, piloerekson, pupil dilatasyonu, kalp hızında ve solunumda değişme, idrar kaçırma, seksüel uyanma, penil erekson olarak belirtilmiştir.

Psişik semptomlar genellikle mezial temporal veya diğer limbik yapılardaki epileptik aktiviteyi gösterir ve sıkılıkla tipik kompleks parsiyel nöbetlere eşlik eder. Psişik, otonomik, olfaktör ve gustator iktal semptomlar şuur bozulması olmaksızın olduğu zaman bunların limbik, temporal lob veya psikomotor nöbetler olduğu düşünülür. Fakat internasyonel sınıflandırmaya göre basit parsiyel nöbetler olarak isimlendirilmelidir.

Disfazik semptomlar genellikle dil dominant hemisferdeki bir lezyonu gösterir. Bu tür psişik fenomenler negatif motor semptomlardan kesin olarak ayırdedilmezler.

Dismnezik semptomlar hafızadaki tecrübelerin umutulması, bilinenlerin tanınamaması (deja vu) veya yabancılanması (jamais vu), geçmişteki bir olayı hatırlama, zorlu düşünme, geçmişteki epizodların hızla yeniden hatırlanması şeklinde olabilir.

Kognitif semptomlar zaman duyusunda bozulma, rüya aleminde olma, depersonalizasyon, hoşnutsuzluk, degersizlik hissi, şiddetli bir depresyon şeklinde olabilir.

En yaygın iktal affektif semptom korkudur, sıkılıkla uygun otonomik değişikliklerle birliktedir. Öfke, depresyon, ani gülme ve şaşkınlık şeklinde görülebilir.

Kompleks iktal illüzyonlar ve şekilli hallüsinasyonlar genellikle psişik semptomlar gibi sınıflandırılır ve epileptogenik odağın özellikle temporoparietoksipital birleşme yerinde olduğunu gösterirler. Vizuel illüzyonlar esnasında objeler daha küçük veya daha büyük görülebilir, sayıları artabilir (monoküler diplopide olduğu gibi) olduğundan yakında veya uzakta görülebilir, şekilleri değişebilir.

**Basit parsiyel nöbetlerin EEG özellikleri:** Basit parsiyel nöbeti olan hastalarda interiktal EEG, çoğunlukla uygun kortikal bölgede fokal diken ve dalga deşarjları gösterir. Genellikle kompleks parsiyel nöbete dönünen basit parsiyel nöbetlerde interiktal dönemde unilateral veya bağımsız bilateral anterior temporal diken veya keskin dalgalar görülür. Ancak interiktal dikenler basit rutin EEG'de, hatta bazen seri halde çekilen EEG'lerde veya uzun süreli EEG videomonitorizasyonda bile gösterilemeyebilir. Interiktal diken sıklığının nöbet kontrolü ile ilişkili olmadığı gösterilmiştir. Intermitan interiktal temporal teta veya delta ritmleri genellikle derin mezial temporal veya orbital frontal bölgelerdeki deşarjı yansıtır.

Epileptik fokus bölgesinde sürekli fokal yavaşlama epileptiform aktivitenin varlığını veya destruktif bir lezyonun hızlı yayılmasını gösterebilir. Çok kez bu EEG paterni postiktaldır ve geçicidir. Sonuç olarak seri EEG'ler yeni bir yavaş dalga foküsü gösterdiği zaman son nöbetlerin etkisi soruşturulmalı ve birkaç gün içinde EEG tekrarlanmalıdır.

İktal EEG değişiklikleri, EEG zemin aktivitesinde uygun kortikal sahada supresyonu, düşük voltajlı hızlı aktiviteyi veya multipl diken ve dalga deşarjlarını içerir, fakat bazen bir hemisferde diffüz dağılımlı veya lateralize görünümlü olabilir. Limbik orijinli basit parsiyel nöbetler genellikle EEG ile korelasyon göstermezler. İktal EEG anormallikleri tipik olarak şuur bozuluncaya kadar görülmez.

Basit parsiyel nöbetler epilepsili hastaların %10'unda görülür. Hafif rahatsızlık hissi, duyu, otonomik ve psişik semptomlar iktal deliller olarak tanımlanabilir. Medikal tedavinin basit parsiyel nöbetleri kontrol edebilme derecesine ait veriler yoktur, çünkü sıkılıkla bunların ortadan kaldırılması gerekmektedir. Remisyon oluştuğunda bile yüksek relaps riski vardır.

Basit parsiyel nöbetlerin teşhisini, alatta yatan nedeni aramak ve progressif bir lezyonun olmadığını göstermek açısından önemlidir. Relatif olarak kısa ve intermittent olan nöbet özellikleriyle, persistan belirtileri olan diğer nörolojik veya psikiyatrik hastalıklardan ayırdedilebilir. Ancak nöbetler günler ve haftalarca sürdüğü zaman ayırıcı tanıda problem olabilir. Tekrarlayıcı epileptik hallüsinsiyonlar çoğunlukla işitseldir ve izole seslerden oluşur. Epileptik hastalar genellikle hallüsinsiyonlarının gerçek olmadığına farkındadır, oysa psikotik hastalar değildir.

Alatta yatan nedenin tespiti tedavinin yönlendirilmesi açısından önemlidir. Basit parsiyel nöbetlerin kendiliğinden düzeltmesi söz konusu değildir. Eğer hasta rahatsız olmuyorsa ve günlük hayatını etkilemiyorsa basit parsiyel nöbetlerin tedavisine gerek yoktur. Tekrarlayan basit parsiyel nöbetlerin beyin fonksiyonlarında ilerleyici değişikliklere sebep olduğuna dair veya daha sonra kompleks parsiyel veya sekonder jeneralize nöbetleri geliştirdiğine dair klinik deliller yoktur.

**Kompleks Parsiyel Nöbetler:** Şuur kaybı ile birlikte olan bütün parsiyel nöbetler kompleks olarak adlandırılırlar. Bütün nöbet tiplerinin çocuk yaş grubunda %20-40'ı, yetişkinlerde %55'ten fazlası kompleks parsiyel nöbetlerden oluşur. Tipik kompleks parsiyel nöbetler sırasında elektrofizyolojik açıdan şuurun bozulması ile bilateral mezial temporal tutulum arasında yüksek oranda korelasyon bulunmaktadır. Şuur bozulması ve postiktal amnezi genellikle bir hipokampusta iktal deşarjları görüldüğü zaman olabilir. Bu esnada elektrot

kayıtları ile tespit edilmeksızın kontrilateral hipokampusta da hala epileptiform disfonksiyon vardır. Tipik kompleks parsiyel nöbetlerin çoğunun kaynağı bir mezial temporal lobdaki epileptojenik odaktır.

Bununla beraber bu tür nöbetler frontal lobun limbik kısmından, lateral temporal ve ekstratemporal non-limbik bölgelerden kaynaklanıp temporal limbik yapılara yayılma ile de ortaya çıkabilir. Otuz yılı aşkın bir süredir ekstratemporal kaynaklı kompleks parsiyel nöbetler tanımlanmış olmasına rağmen “Temporal lob epilepsisi” ve “Kompleks parsiyel epilepsi” sıklıkla sinonim olarak kullanılmıştır. Bu hata son zamanlardaki epilepsi kitaplarında da sürdürülmektedir. Kuşkusuz kompleks parsiyel epilepsilerin çoğunun kaynağı temporal lobdadır. Jovanovic kompleks parsiyel nöbetleri olan hastaların %80-85’inde temporal lobun sorumlu olduğunu göstermiştir.

Basit parsiyel nöbetler için kesin olarak söylememesine rağmen tekrarlayan kompleks parsiyel nöbetler ilerleyici fonksiyon değişikliklerine yol açabilir. Diffüz veya multifokal serebral zedelenme sonucu ise daha çok atipik kompleks parsiyel nöbetler görülür.

Kompleks parsiyel nöbetler izole olarak gelişebileceği gibi çoğunlukla basit parsiyel nöbetlerden sonra gelir. Delgado-Escueta ve arkadaşları, kompleks parsiyel nöbetlerin klinik özelliklerini temel alarak, iki farklı tipten bahsetmişlerdir.

Tip I nöbetler en yaygın olanlardır. Sıklıkla bir duraklama reaksiyonu ve/veya hareketsiz donuk bakış ile başlar. Bunu, serotip otomatizmler (özellikle oraalimenter) takip eder. Bu periyot sırasında şur büyük oranda bozulur. Cevap verme geriye dönmeye başladığında otomatik hareketler kısmen çevreye reaktif hale gelir.

Tip II nöbetlerde ise duraklama reaksiyonu ve stereotip otomatizma görülmez, nöbet yarı amaçlı motor aktivite ile başlar.

Son zamanlarda yapılan cerrahi tedavi sonuçlarına ve intrakraniyal kayıtlara dayanarak Tip I nöbetlerin, kaynağını mezial temporal lobdan aldığı ileri sürülmüştür. Tip II nöbetlerin kaynağı ise ekstratemporal, muhtemelen frontal lobdadır.

Auralar, temporal lob kaynaklı kompleks parsiyel epilepsilerin %70-90’ında bildirilmiştir. Epigastrik yükselme hissi şeklinde ve temporobazal limbik yapıların tutulduğunu gösterir.

Otomatizmler, şur bozulduğu anda ortaya çıkan istem dışı, otomatik motor hareketleri içerir. Spontan veya reaktif formda olabilen otomatizmler, iktal veya postiktal dönemde görülebilir. Spontan veya reaktif formda olabilen otomatizmler stereotip göstermeye meyllidir ve hastanın nöbetlerinin değişmez bir parçasını oluşturur. Spontan otomatizmlerin

en yaygın örneği oroalimenter otomatizmlерdir (dudak emme, çığneme, yalanma, yutkunma gibi hareketlerdir). Bu otomatizmler amigdalanın tutulduğunu ifade eder, ancak lateralizasyon için yeterli değildir. Bazı araştırmacılar yutkunmanın frontal lob yapılarına ait bir ictal gösterge olduğunu ileri sürmüştür. Elbisenin toplanması, giyinme, soyunma veya objelerin yeniden düzenlenmesi şeklinde gestural, aniden ayağa kalkarak yürüme veya koşma şeklinde ambulatuvar, sürekli bazı kelime veya cümlelerin tekrarlanması şeklinde verbal, pelvik sıkıştırma ve masturbasyon şeklinde seksüel otomatizmler de görülebilir. Seksüel otomatizmlerin frontal lobla ilişkili olduğuna dair deliller vardır. Bacaklıda bisiklet çevirmeye hareketi, vizıldama, bağırmaya ve tükürmeye gibi diğer spontan otomatizmler daha az tanımlanmıştır.

Reaktif otomatizmler stereotip değildir, çünkü dış stimuluslarla belirlenir. Hasta genellikle nöbetin başında yapmakta olduğu basit aktivitesine (tabak yıkamaya, yazı yazmaya) devam eder, deneyimsiz bir gözlemci nöbet olduğunu farkedemez. Bu sırada sorulara cevap verebilir, basit emirleri yapar veya yeni durumlara uygun davranışır (örneğin caddeyi geçerken arabalardan sakınır). Bu tür cevap ve davranışlar genellikle şurun kaybolmadığı şeklinde yanlış yorumlara yol açar. Reaktif otomatizmler anatomik yapılara spesifik değildir.

Kompleks parsiyel nöbetlerde otomatizmler yanında motor semptomlar da görülebilir. En yaygın alanı tonik postür veya versif davranışlardır. Hareketler genellikle kontraversiftir. Bu tür baş ve gövde dönüşü lateralizasyon veya lokalizasyon için spesifik değildir. Temporal lob kaynaklı nöbetlerde başlangıç postür değişiklikleri yavaşır, frontal lob kaynaklı nöbetlerde ise aksine hızlı, kısa ve tekrarlayıcı tonik-motor semptomlar görülür.

Kompleks parsiyel nöbetlerde postiktal dönem çok kısa sürdüğü için eğer dikkatli bir muayene yapılmazsa kognitif bozukluklara ait semptomlar kaçırılabilir. En yaygın karşılaşılan durum anterograd amnezidir ve eğer dominant hemisfer tutulmuşsa afazi olur. Bazı hastalarda öksürme, burnunu ovalama gibi bazı spesifik davranışlar ictal deşajının sonunu gösterebilir. Dezoryantasyon, yorgunluğa bağlı beceriksizlik ve genellikle başağrısı nöbetten sonraki birkaç dakika veya saatte kaybolur. Tekrarlayan kompleks parsiyel nöbetlerden sonra anterograd amnesi hastalarca kalabilir.

**Kompleks Parsiyel Nöbetlerin EEG Özellikleri:** Kompleks parsiyel nöbeti olan hastada interiktal EEG'de anormallik olmayabilir veya sadece zemin aktivitesinde hafif veya anlamlı asimetri ile karşılaşılabilir. Bazı hastalarda seri EEG'lerde veya uzun süreli monitorizasyon esnasında bile interiktal diken aktiviteye rastlanmamıştır. İnteriktal diken sıklığının nöbet

kontrolünün derecesi ile ilişkisi yoktur. Aralıklı interiktal temporal teta veya delta aktivitesi genellikle derin mezial temporal veya orbital frontal bölgelerdeki deşarjları yansıtır. Anormal aktivite olarak kompleks parsiyel nöbeti olan hastalarda genellikle tek taraflı veya bilateral bağımsız anterior temporal diken foküsleri görülür. Nazofarengeal elektrodlarda mezial temporal dikenler görülebilir ancak sfenoidal elektrodlar daha yüksek oranda pozitif sonuç verir. Anterior temporal dikenler uyku ile aktive olarak uyku yavaş dalgası esnasında oluşabilir, ancak bunlar lateralizasyon ve lokalizasyon açısından uyanıklıkta görülenlerden daha az değerlidir.

Tipik kompleks parsiyel nöbet sırasında iktal EEG hemen her zaman anormaldir. Anormallik bir temporal lobda lokalize fokal bulgulardan, diffüz yavaşlamaya kadar değişebilir. Daha sonra genellikle temel zemin aktivitesinde çeşitli derecelerde supresyon, ardından daha yüksek amplitüdü 5-7 cyc/sn ritminde önce aynı tarafa daha sonra karşı hemisfere yayılan dalgalar dikkati çeker. Mezial temporal sklerozu olan hastalarda bu iktal patern bir sfenoidal elektrodda görüldükten sonra lateral temporal derivasyonlara yayılım gösterir.

Derin elektrot kayıtları hem düşük voltaj hızlı, hem de yüksek amplitüdü diken ve dalga formunda iktal başlangıç gösterebilir.

Oldukça yaygın bir bulgu olan postiktal EEG süpresyonu PET ile de gösterilmiştir. Diffüz bir hipometabolizm üzerine ilave olmuş hipermetabolizm alanı iktal başlangıcı ve yayılımı gösterir.

Atipik kompleks parsiyel nöbetlerde tipik kompleks parsiyel nöbetlerde tanımlandığı gibi auralar ve otomatizmler olmaz. Interiktal EEG'lerinde sıkılıkla multifokal veya geniş yayılmış epileptiform belirtiler görülür. İktal EEG'lerinde ise genellikle diffüz anormallik ve fokal bazı belirtiler olabilir fakat belirgin bir sfenoid başlangıç göstermez.

İnsidans ve prognoz çalışmaları tipik ve atipik kompleks parsiyel nöbetler arasında ayırım yapmaz fakat cerrahi rezeksiyon düşünülen hastada ayırıcı tanı önemlidir. Kompleks parsiyel nöbetler, epilepsili hastaların yaklaşık %40'ında görülen nöbet tipidir ve bunların da çoğu tipik formlardadır. Tibbi tedaviye diğer nöbet tiplerine göre daha yüksek oranda direnç göstermeye meyllilerdir. Çeşitli raporlara göre remisyon oranları %20-60 arasındadır ancak sentro-temporal dikenli benign çocukluk epilepsisinde bu oran daha yüksektir. Remisyon sonrası relaps riski büyütür. Bebeklerde kompleks parsiyel epilepsi olarak adlandırılan nöbetler hemen hemen her zaman atipiktir ve kötü прогнозun göstergesidir.

Tipik kompleks parsiyel nöbetler elektrofizyolojik olarak ya mesial temporal yapılarındaki bir epileptogenik lezyonu ya da lateral temporal ve ekstratemporal epileptogenik lezyonu gösterir ve deşarjlar buradan mesial temporal loba yayılım gösterir. Prognoz ve tıbbi tedaviye cevap her iki şekilde de aynıdır. Eğer hasta cerrahi tedaviye aday ise iktal başlangıcın kesin lokalizasyonu önemlidir.

Atipik kompleks parsiyel nöbetler, rezekatif cerrahi için uygun vakalar değildir. Atipik kompleks parsiyel nöbeti olanlarda status epilepticus daha sık oluşur (47).

## 2.4. LOKALİZASYONA GÖRE NÖBETLERİN ÖZELLİKLERİ

### Temporal lob nöbetler

İnsidans	:Yaygındır, tüm epilepsilerin %40'ından fazmasını oluşturur.
Sıklık	:Tipik olarak ayda birkaç kez, nadiren günde birkaç kez görülür.
Süre	:Genellikle dakikalarla ölçülür. Tipik olarak 2-5 dakika (ortalama 1-30 dakika), nadiren 1 dakikadan kısa sürer.
Aura	:Yaygındır, hastaların yaklaşık %80'inde rapor edilmiştir. Visseral hassasiyet (epigastrik-torasik huzursuzluk) şeklärindedir.
İktal-postiktal	faz:Başlangıç genellikle progresif gelişir, devam eder ve tedrici iyileşme olur. İktal faz 1-2 dakika içinde geçer. Postiktal faz tipik olarak daha uzundur.
Şuur:	Genellikle frontal veya kontralateral medial temporal loba yayılincaya kadar hafif bir bozulma, sonra daha belirgin bozulma olur. Erken duraklama reaksiyonu/donuk bakış:Nöbetlerin %30-50'sinde ilk objektif belirtidir.
Otonomik değişiklikler:	Nöbetin daha sonraki safhasında yaygındır, fakat ilk farkedilen işaretlerdendir.
Otomatizmler	:Başlangıçta basittir, stereotipiktir, oraalimenter tipi çok yaygındır. Basit stereotipik el-kol hareketleri başlangıçta veya nöbetin erken fazında olur. Otomatik davranışlar ilerleyicidir. Nöbetin geç fazında veya postiktalde reaktif otomatizmler görülür.
Motor aktivite	:Fokal tonik, genel artmış kas tonusu (rijidite)
Postiktal	:Konfüzyon, disfazi, parsiyel cevapsızlık, tedrici geri dönüş
Hafıza	:Aurayı hatırlayabilir, fakat objektif nöbete karşı amneziktir.

### Frontal lob nöbetler

- Motor belirtiler: Fokal tonik/klonik, asimetrik tonik/adversif postür, jeneralize tonik-klonik, kompleks bilateral bacak ve kollarda motor otomatizmler.
- Status epilepticus: Konvülsif, absans, fokal motor, kompleks parsiyel olabilir. Ataklar sıkıktır, sıkılıkla günde birkaç kez (ayda 50 kez ve üstü) kluster tarzda olur.
- Nöbetler kısadır, yaklaşık 30 saniyede geçer.
- Aniden başlar ve sonlanır, çok hafif bir konfüzyon olur.
- Belirgin kompleks yarı maksatlı motor otomatizmleri (seksüel otomatizmler) olur.
- Zorlamalı ses çıkışma olur.

- Sık ve genellikle spesifik olmayan uyarılar olabilir.
- Garip ataklar genellikle hysteri gibi yorumlanır.
- Her hasta için nöbet stereotipi vardır.

#### Oksipital lob nöbetler

- Elementler vizüel hallüsinasyonlar
- İktal körlük (total veya parsiyel)
- Tespit edilebilir bir hareket olmaksızın gözlerde çekilme ve hareket hissi
- Genellikle karşı tarafa doğru gözlerde deviasyon
- Hızla zorlu göz kapama veya göz kapaklarında titreme
- Gözlerde klonik (oküloklonik) hareketdir.

#### Parietal lob nöbetler

- Karıncalanma, elektriklenme hissi
- Genellikle el, kol, bacak, yüz gibi geniş kortikal bölgeler tutulur.
- Non-dominant hemisferde deşarjları olanlarda bükülmelerle giden metamorfozi
- Vücutun bir parçasını yok gibi hissetme
- Ciddi vertigo ve yer oryantasyon bozukluğu
- İyi lateralize olmuş genital hassasiyetdir.

## **2.5. BİLGİSAYARLI BEYİN TOMOGRAFİSİ ( BBT )**

Değişik yapılardaki dokuların X-ışını fotonlarını farklı miktarda tutma özelliklerinin dedektörler aracılığıyla tespit edilmesi, bilgisayar yardımı ile de kesitsel görüntülerinin değişik gri tonlarında görüntülenmesi esasına dayanır. Nörolojik kullanımı 1970 yılında Hounsfield tarafından gerçekleştirılmıştır. Dokudaki X-ışını azalma değerleri hassas dedektörler yardımıyla ölçülür. Bu ölçüm -1000 ile +1000 arasındaki Hounsfield unite (HU) değerleriyle ifade edilir. Yaklaşık olarak yağ dokusu -100 HU, yumuşak doku +20 ile 70 HU arasında, kemik >400 HU, hava -1000 HU'dır. Intravenöz kontrast madde verilerek damarsal yapılar görüntülenebilir ve patolojik dokuların kontrast tutma özellikleri ortaya konulabilir (13).

Primer jeneralize epilepsisi olan hastalarda BBT'de anormallik görülme oranı %10' dur. Basit parsiyel epilepside bu oran % 28-73 arasında, sekonder jeneralize epilepsilerde ise %90 bulunmuştur. Temporal lob epilepsili hastalarda mesial temporal skleroz BBT'de gösterilemez. MRG mesial temporal sklerozu göstermede daha anlamlıdır. Kronik epilepsilerde BBT incelemelerinde yaklaşık 1/4 hastada fokal anomalii gösterilemiştir (21).

## **2.6. MANYETİK REZONANS GÖRÜNTÜLEME**

1946'da Block ve Purcell'in manyetik rezonansı tanımlamasından sonra 1980'li yılların başında yeni görüntüleme yöntemi olarak kullanılmıştır. İncelemenin temeli atom çekirdeğinin manyetik alanındaki davranış özelliklerine dayanır. MR görüntüsü oluşturmada vücutta yoğun olarak bulunan su moleküllerindeki hidrojen atomundan yararlanılır. Atomdaki proton spin denilen bir eksen etrafında döner. Güçlü bir manyetik alanda bu spinler düzenli bir sıralanma gösterir. Bu sırada dışarıdan uygulanan uygun frekanslı radyo dalgası (RF), bu spinlere açı verir. Enerji yüklenen spinler stimulusun sonlanması ile ilk durumlarına dönmeye çalışırlar ve bu sırada aldıkları enerjiyi geri verirler. Bu enerji sinyalleri kaydedilerek ve görüntüyü oluşturan veri olarak bilgisayarlarca değerlendirilir. RF dalgalarının kesilmesiyle geri dönen sinyallerin algılanması arasında geçen süreye Time Echo (TE), bu sinyallerin tekrarlanma aralığına ise Time Repetition (TR) denir. TE ve TR değerleri kısa tutulursa T1 ağırlıklı, TE ve TR değerleri uzun tutulursa T2 ağırlıklı, TR uzun, TE kısa tutulursa proton ağırlıklı görüntü elde edilir. MRG'de tetkik parametrelerinde değişiklik yaparak aynı lezyona değişik görüntü özellikler kazandırmak mümkündür. MRG, BBT'ye göre bazı alanlarda üstünlük göstermektedir: Yüksek yumuşak doku kontrastı vermesi, aynı pozisyonda multiplanar görüntü imkanı sağlama, kemik artefaktı olmaması, ionize ajan kullanılmaması, miyelin lezyonlarına karşı çok hassas olması gibi (46).

Lokalizasyon ve yapısal epileptik anomalilerin ayrimında MRG, BBT'den daha üstündür ve onun yerini almaya başlamıştır. MRG incelemesi cerrahi olarak tedavi edilebilen temporal lob epilepsilerinin yaygın bir sebebi olan hipokampal skleroz tanısında yüksek başarı sağlamaktadır. SPECT ve PET ile elde edilen fonksiyonel görüntüleme, MRG bulgularını tamamlayıcı niteliktedir. Kronik epilepsilerde BBT incelemelerinde yaklaşık 1/4 hastada fokal anomali gösterilebilirken, MRG'de bu oran 1/2'ye çıkmıştır. MRG'da temporal lobun ince kesitleri alınabilmektedir. Temporal lob epilepsili hastaların %70-90'ında hem kantitatif hem kalitatif olarak hipokampalatrofi gösterilmiştir. Ayrıca MRG ile tümör, perinatal hipoksiden kaynaklanan atrofik yapılar, enfeksiyon veya travma gibi akut epileptojenik lezyonlar görüntülenebilir. Tümör, yapısına göre farklı görünüm verebilir. Kronik refrakter epilepsilere neden olarak en sık rapor edilen tümörler ganglioglioma, düşük grade astrositom, anteriovenöz malformasyon ve hemartomu göstermede MR oldukça fazla özgüllüğe sahiptir. Nöbet sebebi olan konjenital lezyonlar, hematomlar, vasküler malformasyonlar, gelişimsel anomaliler (pakigri, şizensefali, lissensefali, hemimegalensefali, anterior temporal lob encefalosel, kortikal displaziler) MRG ile saptanabilir. Nöbet geçiren hastalarda geçici sinyal anomalileri de tanımlanmıştır. Hipokampal

sklerozlu hastaların MRG görüntülemelerinde nöbet odağı ile aynı tarafta hipokampus asimetrik ve atrofik görülür. T2 ağırlıklı kesitlerde etkilenmiş hipokampusta genellikle artmış sinyal kaydı görülür. Yine de MRG bulguları klinik, EEG ve diğer verilerle uyumlu olmalıdır. İdyopatik jeneralize epilepsilerde bu yapısal görüntüleme yöntemlerinin yardımcı oldukça azdır. Bazı çalışmalarda %10 gibi oranlarda patolojik bulguya rastlandığı belirtilmektedir (4,6,24,25,31,44).

## 2.7. SINGLE PHOTON EMISSION COMPUTER TOMOGRAFİ (SPECT)

Birçok nükleer tıp bölümünde gama kameraları kullanılarak uygulanabilen bir tanı yöntemidir. İncelenen organların görüntülenebilmesi için kullanılacak olan radyonüklidin uygun bir ilaçla kimyasal olarak bağlanıp, organda lokalize olması gerekmektedir. Görüntülenecek olan organdan çıkan gama ışınları kolimatörden geçerek kristalde sintilasyon fotonları oluştururlar ve ışık geçirgen bir tabaka ile kristale bağlanmış birçok fototüp tarafından enerjileri ile orantılı pulsala dönüştürüllerken preamplifikatörde yeterince büyütüldükten sonra pozisyonlama devresine gelirler. Burada her bir sintilasyon oranının oluşma noktasına karşılık gelen enerji ve pozisyon sinyalleri üretilir. Puls yüksekliği analizör ile izotop enerjisine karşılık gelen pulsalar ayrılarak kayıt ünitelerinde görüntü oluştururlar (36).

SPECT imajlarının elde edilebilmesi için dedektörün ilgili organ etrafında dönerken eşit adımlarla artan, farklı açılarda bir grup görüntünün alınması gereklidir. Bu görüntülerin alınabilmesi için başın 360 derece dönmesi gereklidir. İmajların oluşabilmesi için kamera bir pozisyonda 5-20 saniye sabit durur ve dedektöre dik olarak gelen tüm ışınlar ekranada noktasal pırıltılar halinde belirirler. Bilgisayarda kaydedilen bu imajlara daha sonra uygulanan işlemlerle transvers, sagital ve kronal kesitler elde edilir.

SPECT'de I-123 (iyot-123), Tc-99m (teknesyum-99m) gibi kısa ömürlü radyonükleer maddeler kullanılarak serebral kan akımı değişiklikleri ölçülebilir. Bu aminler normal kan beyin bariyerini geçmektedirler. İlk olarak 1986'da kullanılmaya başlayan Tc-99m-HMPAO (Hidroksimetil propilen aminoksim), nötral lipofilik ajan olup, kan akımına bağlı beyin tutulumunu göstermektedir. Tc-99m-HMPAO 3 ve 9 pozisyonunda iki karbon zincirinden oluşur. Tc-99m-HMPAO kompleksinde L, D ve Mezo izomer şekilleri oluşur. D ve L izomerleri hızla kan-beyin bariyerini geçerek beyinde retansiyon oluştururken mezo izomer beyinde retansiyon oluşturmaz. Kan-beyin bariyerini geçtikten sonra kanlanmayla orantılı olarak beyinde Tc-99m-HMPAO dağılımı izlenir. Bölgesel dağılımı, bölgesel kan akımıyla orantılıdır. Teknisyum çekirdeğinin düşük invitro stabilitesi bu maddeyi az güvenilir yapmakla beraber instabilite beyin retansiyonu açısından ana mekanizmayı oluşturmaktadır. Vücuttan atılımı kısmen yavaş olup, çoğunlukla böbreklerden bir miktar da karaciğerden olur. Bileşim kendi içinde de hidrofilik

dönüşüme uğradığından hazırlandıktan sonra en geç 1 saat içinde kullanılması gerekmektedir. Ölçümler genelde ilk 30 dakika içinde yapılmaktadır (7,29,30).

SPECT sıklıkla; Serebrovasküler olaylar, kafa travmaları, yer işgal eden lezyonlar, epilepsi, psikiyatrik bozukluklar, demanslar, beyin ölümü, inflamatuar hastalıklarda kullanılır (9,15,16).

Epileptik odağın tespiti için günümüzde kullanılan EEG, MRG, BBT çoğu zaman yetersiz kalmaktadır. Tam olarak odağın tespiti için subdural ya da intraserebral elektrod konması gerekmektedir. Fakat bu metod invazif ve pahalıdır. SPECT ile yapılan fonksiyonel görüntülemede epileptik odağı non invasiv yöntemle yüksek oranda tespit etme olanağı vardır. Beyin kan akımı beyin metabolizmasına paralel olduğundan, nöbet aralarında odak hipoperfüze görülür. Nöbet esnasında ise hiperperfüze olarak karşımıza çıkar. Nöbet esnasında ve aralarda çekilen sintigrafiler birlikte değerlendirilerek, epileptik odaklar daha doğru olarak tespit edilebilmiştir. Tc 99m HMPAO gibi kan akımını gösteren ajanlar nöbet esnasında veya hemen sonrasında hastaya enjekte edilerek 4 saat sonra alınan SPECT görüntüleri enjeksiyon esnasındaki kan akımını yansıtır. SPECT'ten elde edilen görüntüler MRG ile kıyaslanabilir özelliktedir. Fakat tek başına kullanılamaz. BBT veya MRG'den elde edilen anatomik bilgileri tamamlayıcı olarak kullanılmaktadır.

Yenidoğanda, talamus, santral bölge ve serebellar vermiste metabolik fonksiyon yüksektir. 3 aylıkken aktivite, striatum, oksipitoparietal bölgeler ve serebellar kortekste artmaktadır, frontal loblarda relativ olarak daha hipometabolik kalmaktadır. 1 yaşında metabolik aktivite erişkin değerlere erişmektedir. 2 yaştan 7 yaşa dek, değerler erişkinin iki katıdır. 15 yaş civarlarında erişkin değerlere düşmektedir. Çalışma yapılrken bu değişiklikler, değişik yaş grupları gözönünde bulundurularak değerlendirilmelidir.

Genel olarak interiktal çekilen SPECT epilepsili hastaların %40-70'inde pozitif sonuç verir. İktal çekilen SPECT'lerde ise bu oran %70-100 arasında değişir. Temporal lob epilepsili hastalarda interiktal dönemde yapılan SPECT'lerde hipoperfüze alan saptama olasılığı %50 iken, şayet bu iktal dönemde yapılrsa temporal lob epilepsili hastaların %97'sinde artmış perfüzyon saptanmaktadır. Ekstratemporal lob epsillerinde ise bu oran interiktal grupda %30, iktal grupda %90'dır ( 31).

### **3. MATERİYAL ve METOD**

Bu çalışma Çukurova Üniversitesi Tıp Fakültesi Çocuk Nöroloji Polikliniğinde parsiyel epilepsi tanısıyla takip ve tedavi edilen 102 hasta üzerinde yapıldı. Öykü, nörolojik muayene, nöroradyolojik ve elektroensefalografik incelemeler açısından dosyalardaki eksikliklerin tamamlanması için hasta ve aileler mektupla yeniden çağrıldı. 102 hastanın 60'i erkek (% 59), 42'i kız (% 41), nöbet başlangıç yaşı (ay)  $52.22 \pm 51.05$  (min:1, maks:168), çalışma esnasındaki yaşları (ay) 18 ile 216 ay arasında ( $128.5 \pm 50.41$ ) idi.

Nöbetlerin tanımı ve tiplemesi, uluslararası epilepsiyle savaş birliği (ILAE)'nin 1981 yılındaki klasifikasyonuna göre yapıldı (Tablo III).

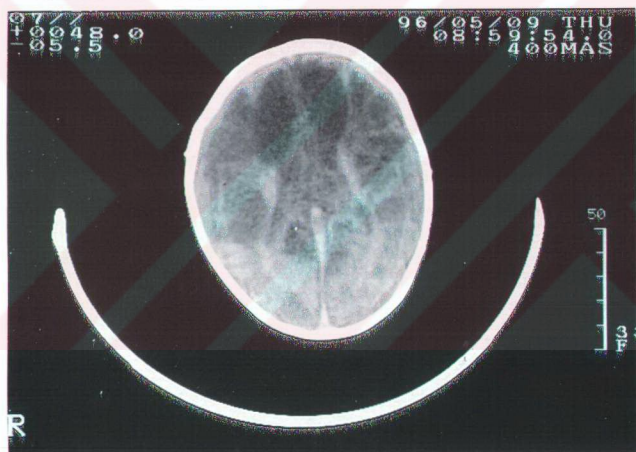
Tablo III. Hastaların Nöbet Tipine Göre Dağılımı

NÖBET TİPİ	Sayı	%
KP	35	34
KP+ Sek Jeneralize	16	16
Sek. Jeneralize	47	46
BP	4	4
TOPLAM	102	100

Hastaların dosyalarındaki bilgiler yeniden değerlendirildi. Detaylı öykünün ışığında epilepsi tanısı ve nöbet tipleri yeniden gözden geçirildi. Hastaların takip süresi ortalama  $75.35 \pm 51.28$  ay (min:13, maks:198) idi. Bu süre içerisinde çekilen tüm interiktal EEG raporları gözden geçirildi. Kuşkulu raporların traseleri arşivden çıkarılarak yeniden incelendi. Mevcut EEG'lerinden epileptik aktivite ve lateralizasyon yönünden yeterli bilgi edinilemeyen hastalara yeniden EEG çekildi. Bazı hastaların sadece uyanıklık, bazı hastaların sadece uyku, bazı hastaların da hem uyku hemde uyanıklık EEG'leri vardı. EEG'de diken dalga ve keskin dalga deşarjları epileptik aktivite olarak kabul edildi. İncelenen traselerin birinde epileptik aktivitesi olan hastalar EEG anormal gruba dahil edildi. Epileptik aktivitenin en yüksek amplitüdü ve en yoğun olduğu lokalizasyon foküs olarak belirlendi. Zemin ritmi düzeni değerlendirmeye alınmadı.

**EEG Yöntemi:** EEG kayıtları 12 kanallı Nihon-Kohden EEG cihazında sukUNETTE, fotik stimulasyonda ve hiperventilasyon sırasında, TC=0.3, HF=7.0, sensitivite=10 mikV/mm ve hız=30mm/sn'de bipolar ve monopolar bağlantılarla gerçekleştirildi. Fotik stimülasyon 5,10,15 Hz frekansındaki uyarılarla herbiri 10-15 saniye süre ile verildi.

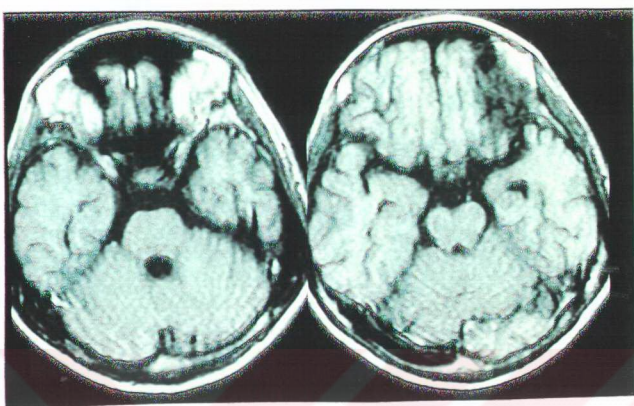
102 hastanın 86'sına( % 84 ) BBT çekildiği tespit edildi. Bunların 12'sinde muhtelif nedenlerle BBT kontrast madde verilerek tekrar edildi. BBT çekimi Ç.Ü Tıp Fakültesi Radyoloji ABD'da GE-cytek 3000 cihazı kullanılarak yapıldı. İnceleme orbitomeatal hatta paralel aksiyal planda yapıldı. 5 yaşın altında 5 mm kesit kalınlığı ve 5 mm kesit aralığı ile, 5 yaş ve üzerinde posterior fossa 5 mm kesit kalınlığı ve aralığı, supratentorial bölge 10 mm kesit kalınlığı ve aralığı ile incelendi. Küçük ve ajite çocukların sedasyon sağlandı. BBT bulguları Radyoloji ABD raporlarından alındı. Kuşkulu ve açık olmayan raporlara ait görüntüler yeniden değerlendirildi. Şekil 1'de patolojik bir BBT görüntüsü görülmektedir.



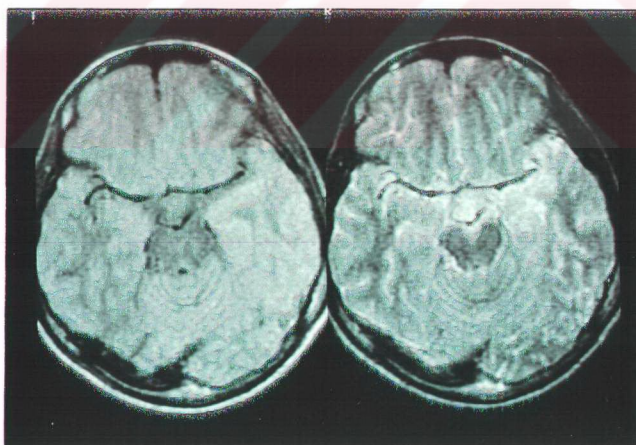
Şekil 1. Bilateral frontoparietal gliosis

102 hastanın 30'unun dosya kayıtlarında MRG olduğu saptandı. Çalışma süreci esnasında MRG'si olmayan hastaların bu eksigi tamamlanmaya çalışarak toplam 78 hastanın MRG'si temin edildi. MRG çekimide Ç.Ü Tıp Fakültesi Radyoloji ABD'da 0.5 tesla gücünde General-Electric marka MR cihazı ile yapıldı. T1 ve T2 sekanslarında kesit aralığı 5 mm, kalınlığı 1-2 mm olan ortalama 20 kesit alındı. İşlem sırasında küçük ve ajite çocuklara sedasyon

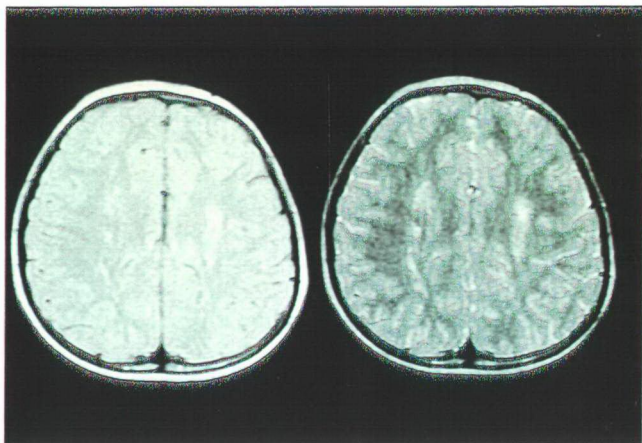
uygulandı. MRG'ler arasında patolojik olanlar ve MRG'si normal olup SPECT'i anormal olan hastaların MRG'leri Radyoloji ABD'si tarafından yeniden değerlendirildi. Şekil 2,3,4'de patolojik MRG örnekleri görülmektedir.



Şekil 2. T1 ağırlıklı aksiyel görüntülerde, sol temporal boynuz sağa göre geniş, parahippokampal girusun ise karşı tarafta göre ince olduğu izlenmektedir (Mesial Temporal Skleroz).



Şekil 3 . PD ve T2 ağırlıklı kesitlerde, sol parahippokampal girusta incelme ve sinyal artışı izlenmekte (Mesial Temporal Skleroz).



Şekil 4. PD ve T2 ağırlıklı aksiyal kesitlerde, periventriküler beyaz cevherde değişik boyutta yüksek sinyalli lezyon izlenmekte (Gliosis).

SPECT görüntülemesi Ç.Ü Tip Fakültesi Nükleer Tıp ABD'sinden gerçekleştirildi. Her hastaya intravenöz olarak 555-740 mBq (15-20 mCi)  $\text{Tc-99 m-HMPAO}$  uygulandı. İnjeksiyondan 10 dakika sonra SPECT çekimine başlandı. Çekim için GE-Medical system starcom 4000i marka SPECT cihazı kullanıldı. Görüntüleme parametreleri: 360 derece, 64 projeksiyon, 64x64 matriks, 30sn./projeksiyon idi. Geriye projeksiyon yöntemiyle görüntü rekonstrüksiyonundan sonra, orbitomeatal hatta paralel olarak alınan horizontal kesitlerle birlikte sagital ve koronal kesitler de elde edildi. BT görüntüsü piksel (Piksel: Picture  $\times$  Element: Görüntü elementi) adı verilen resim elementlerinin bir matriksinden ibarettir. Her piksel organizmadaki karşılığı olan bölgenin X'ını attenuasyon değerini gösterir. BT görüntülerinin matriksi genellikle değişkendir. Bu sayıların çarpımı piksel sayısını verir. Bir piksel 0.625 cm kalınlıkta idi. Bu görüntüler hasta hakkında bilgisi olmayan bir Nükleer Tıp ABD'si öğretim üyesi ve uzmanı tarafından yalnız olarak ve birlikte olmak üzere 2 kez değerlendirildi. Önce 3 boyutlu olarak proses edilen görüntüler (surface 3 dimensions) visüel olarak değerlendirildi. Burada, sadece kortikal alanın perfüzyonu incelenmekte olup, subkortikal bölgenin değerlendirilmesi mümkün olmamaktadır. Daha sonra her üç düzlemden (horizontal, sagittal, koronal) oluşturulan kesit görüntüleri visüel olarak değerlendirilerek, perfüzyon bozukluğu olan alanlar saptandı. Daha sonra da, tüm hastalara, kantitatif analiz yapıldı. Kantitatif analiz için 12 beyin bölgesi seçildi. Bu bölgeler horizontal planda; anterior temporal, okcipital ve nukleus caudatus, koronal planda; orbitofrontal, dorsolateral frontal korteks, anterior singulum, mesial temporal, lateral temporal, parietal korteks, talamus, sagittal planda; frontopolar bölge idi. Bu alanlardaki 5x5 piksellik bir

bölgeden elde edilen ortalama sayımlar kullanılarak aktivite indeksi (A.I.) hesaplandı. Ayrıca visüel olarak hipoperfüzyon saptanan alan ve bunun ayna hayali olan bölgeden alınan ortalama sayımlar ile lateralite indeksi (L.I.) hesaplandı. Bu hesaplamalar aşağıdaki formül kullanılarak yapıldı. Simdiye kadar interiktal SPECT ile ilgili olarak yapılan çalışmaların büyük bir kısmında hipoperfüzyon görsel olarak değerlendirilmiştir. Ancak bazı çalışmarda bir bölgeye hipoperfüzyon alan denilebilmesi için asimetri indeksi yani L.I. % 10 ve üzeri olması esası getirilmiştir. Yani bir hemisferdeki hipoperfüze alan karşı hemisferdeki homolog bölge ile karşılaştırılarak aradaki perfüzyon farklılığı % 10 ve üzerinde ise, daha hipoperfüze alan anormal kabul edilmiştir. Biz çalışmamızda bu konuya açıklık getirmek amacıyla hipoperfüze alan L.I. oranına baksızın, % 5 üzeri ve % 10 üzerinde L.I. olan hipoperfüze alanları anormal kabul edip, tüm hipoperfüze alanı olan hastaları bu şekilde üç gruba ayırarak, bu farklı değerlendirmenin BBT, MRG, EEG lateralizasyonuna bir etkisi olmadığını saptadık (Tablo IV). Ancak Rowe ve arkadaşları (40) asimetri standart sapması değeri arttıkça SPECT'e ait hassasiyetin azalıp özgüllüğün arttığını bildirmiştir. Bu nedenle yanılma payını minimale indirmek için L.I. % 10 ve üzerinde olan hipoperfüze alanları anormal kabul ettik. Şekil 5'te üç boyutlu patolojik bir SPECT görüntüsü, Şekil 6'da transaksiyal kesitlerde monofokal, Şekil 7'de transaksiyal kesitlerde multifokal hipoperfüzyon saptanan patolojik SPECT görüntüleri görülmektedir.

#### A.I.: Ortalama piksel sayımı(OPS)

Temporal dışı 6 kortikal bölgenin OPS

#### L.I.: [OPS (Sağ) - OPS (Sol)] X 2

[OPS (Sağ) + OPS (Sol)]

#### OPS: İlgili alanındaki total sayı

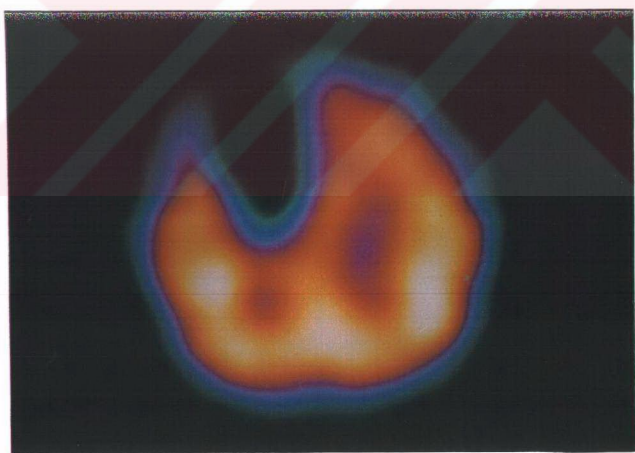
İlgili alanındaki piksel sayımı

Tablo IV. L.I. oranına göre belirlenen SPECT grupları ile EEG lateralizasyonu, BBT lateralizasyonu, MRG lateralizasyonu ve MRG'deki hipokampus mesafelerinin oranları arasındaki ilişki.

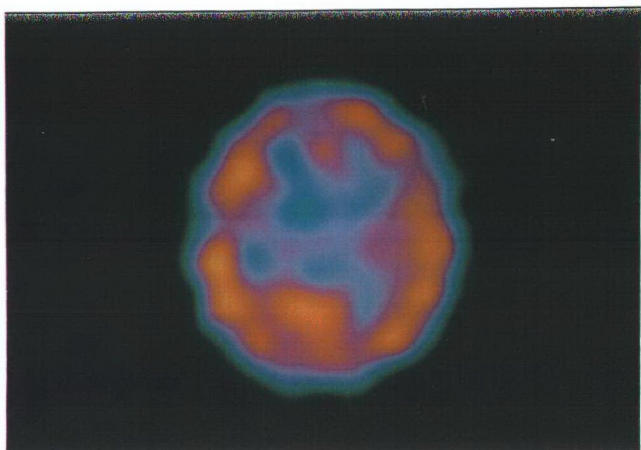
SPECT GRUPLARI	EEG LATERALİZASYON						MRG LATERALİZASYON						a1/a2 (Ort.±SD)	BBT LATERALİZASYON			
	(+) Sayı %		(-) Sayı %		Normal Sayı %		(+) Sayı %		(-) Sayı %					(+) Sayı %		(-) Sayı %	
I	26	57.7	3	6.8	16	35.5	16	41	23	59		1.027±0.149	14	42.4	19	57.6	
II	25	58.1	3	7	15	34.9	16	41	23	59		1.022±0.148	14	42.4	19	57.6	
III	25	64.1	3	7.7	11	28.2	15	42.8	20	57.2		1.021±0.151	11	36.6	19	63.4	
P	0.96						0.82						0.98	0.97			



Şekil 5. Üç boyutlu değerlendirmede, frontal hipoperfüze alan



Şekil 6. Transaksiyel kesitlerde frontal hipoperfüze alan



Şekil 7. Aksiyal kesitlerde multifokal hipoperfüze alan

#### TANIMLAMALAR

1. Refrakter Epilepsi: En az 2 yıldır epilepsi tanısıyla takip edilen, ayda en az 1 nöbeti olup da en az 2 major antiepileptik ilaca yanıt vermeyen epilepsi (51)
2. Nöbet Başlangıç Yaşı: İlk nöbetinin görüldüğü yaşı (ay olarak)
3. SPECT Yaşı: SPECT tetkikinin yapıldığı yaşı (ay)
4. Epilepsi Süresi: Nöbetlerin başlangıcından günümüze kadar olan süre(ay)
5. Nöbet Sıklığı: Bir ay içerisindeki nöbet sayısı
6. Tablo IX'daki klinik (+) lik: Hasta ailesinden alınan nöbet öyküsünün kuşkusuz bir şekilde epileptik nöbeti düşündürmesi durumu.
7. Tablo V'de görülen gruplar
  - Grup I: Lateralite indeksine bakılmaksızın hipoperfüzyon saptanan hastalar
  - Grup II: Lateralite indeksi %5'in üzerinde hipoperfüzyon saptanan hastalar
  - Grup III: Lateralite indeksi %10'un üzerinde hipoperfüzyon saptanan hastalar
  - EEG lateralizasyonu (+) olma: EEG'deki epileptik aktivitenin gerek yoğunluk gerek amplitüt yönünden bir tarafda daha belirgin olarak görülmesi
  - EEG lateralizasyonu (-) olma: EEG'deki epileptik aktivitenin gerek yoğunluk gerek amplitüt yönünden herhangi bir tarafda daha belirgin olmaksızın subkortikal izlenim vermesi
  - MRG Lateralizasyonu (+) olma: MRG'de patoloji olma hali

- MRG lateralizasyon (-) olma: MRG'nin normal olma hali
- BBT Lateralizasyon (+) olma: BBT'de patoloji olma hali
- BBT lateralizasyon (-) olma: BBT'nin normal olma hali

#### 8. Tablo XI'de görülen gruplar

- (+) uyum: Her iki tetkikde anormallığın aynı tarafda olması durumu
- (-) uyum: Her iki tetkikin normal olması durumu
- (+) uyumsuzluk: Her iki tetkikde anormallığın farklı tarafda olması durumu
- (-) uyumsuzluk: Tetkiklerinden birinin normal, diğerinin anormal olması durumu

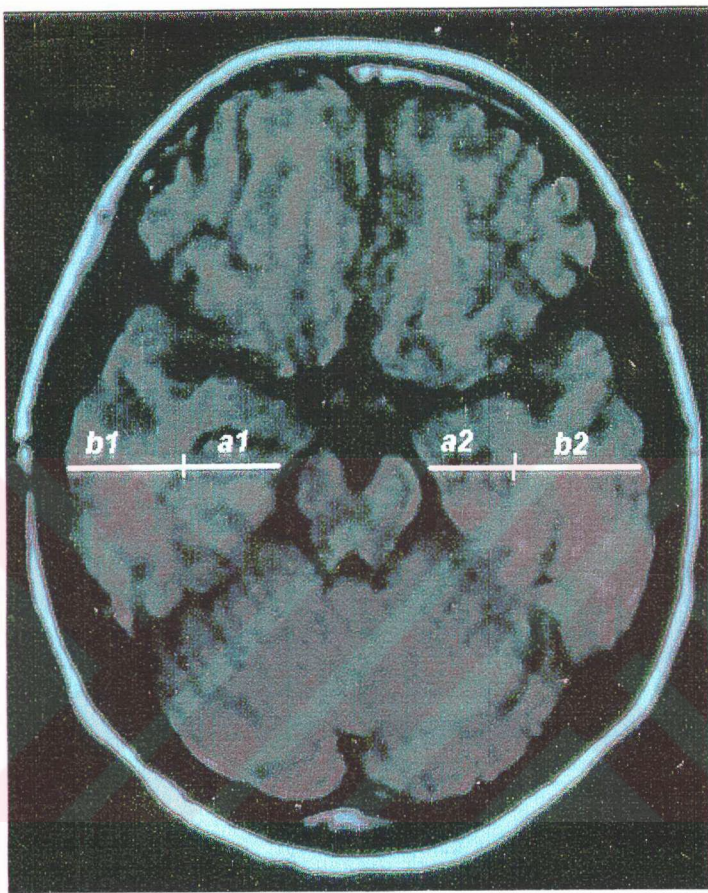
#### 9. SPECT'in normal-anormallik kriteri: Lateralite indeksi % 10'unun altında saptanan tüm vizüel hipoperfüze alanlar normal, % 10 ve üzerindeki alanlar anormal hipoperfüzyon olarak kabul edildi ve normal-anormal gruplamaları buna göre yapıldı.

10. MRG ÖLÇÜMLERİ: Bu ölçümler için mezensefalonun alt düzeyi ve pons üst düzeyinden geçen aksiyel kesitler kullanıldı (Şekil 8,9).

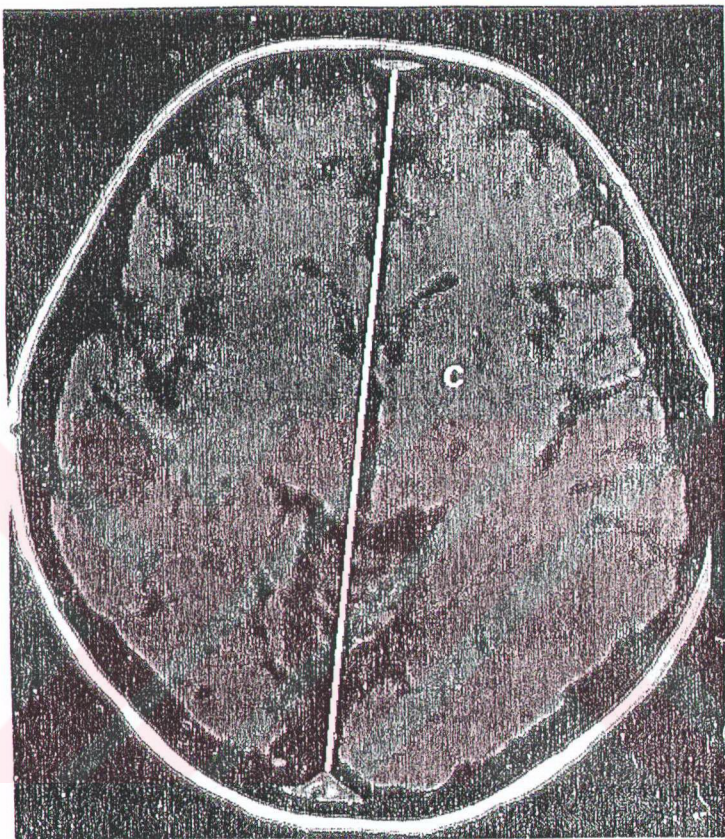
- a1: Sağ parahipokampal kalınlık ( sağ temporal boynuzun iç duvarından unkus dış yüzeyine olan uzaklık )
- a2: Sol parahipokampal kalınlık ( sol temporal boynuzun iç duvarından unkus dış yüzeyine olan uzaklık )
- b1: Sağ temporal lobun transvers genişliği ( unkus dış yüzeyinden temporal lobun dış yüzeyine olan uzaklık )
- b2: Sol temporal lobun transvers genişliği ( unkus dış yüzeyinden temporal lobun dış yüzeyine olan uzaklık )
- c: İnterhemisferik fissurun ön ucundan arkada iç tabulyaya kadar olan dik uzaklık (Şekil 8,9).

#### İstatistiksel Çalışma:

SPSS-PC 5.01 paket programı ile yapıldı. Değerler ortalama  $\pm$  SD olarak belirtildi.  $P < 0.05$  istatistiksel olarak anlamlı kabul edildi. Kesikli değişkenlerin analizinde Chi-kare, gerekli yerlerde ise Fisher-exact testi kullanıldı. Sürekli değişkenlerin analizinde Student T-testi ve One-way-Anova kullanıldı. Bu karşılaştırmalarda vaka sayısının yeterli olmadığı yerlerde ise Mann-whitney ve Kruskal-Wallis uygulandı.



Şekil 8: MRG'de ölçülen mesafeler



Şekil 9: MRG'de ölçülen mesafeler

#### 4. BULGULAR

Parsiyel epilepsi olan 102 hastanın 86'sının BBT'si mevcuttu. Bunların 67'sinin (% 78) BBT'si normal, 19'unda (% 22) anormal bulgu tespit edildi. Mevcut 78 MRG'nin 56'sı (% 72) normal olup, 22'sinde (% 28) anormal bulgu tespit edildi. SPECT uygulanan 102 hastanın 39'unda (%38.2) hipoperfüze alan saptandı. Saptanan bu hipoperfüze alanların 20 tanesi (%51.2) monofokal, 19 tanesi (%48.8) multifokal, 9'u (%24) bilateral, 30'u (%76) tek taraftı idi. Hipoperfüze alanların anatomik dağılımı frontal lobda 17 (%43.5), temporal lobda 16 (%41), okspital lobda 12 (%31), parietal lobda 19 (%49) şeklinde idi. Hastaların 36'sının (% 35) EEG'si normal idi. Geri kalan 66 hastanın 28'inde (% 65) epileptik aktivite solda, 22'sinde sağda, 9'unda hem sağ hem de solda belirgin, 7'sinde subkortikal izlenim vermektedir (Tablo V).

Tablo V. Hastaların klinik, EEG, BBT, MRG ve SPECT bulguları

NO	Ad Soyad	YAS (ay)	CINS	Nöbet Tipi	EEG	BBT	MRG	SPECT (Hipoperfüzyon)	Lateralite İndeksi
001	F.Ö	120	E	Sek. Jeneralize	Sol F	sol frontal porensenfilik kist	Sol frontal porensenfilik kist	Sol F	+0.26
002	E.A	192	E	KPN+ Sek. Jen.	Sol F	N	N	Sol F	+0.14
003	C.L	108	K	KPN	SK	N	Yok	N	0.00
004	İ.D	156	E	Sek. Jeneralize	Sol TO sağ ST	Yok	Bilateral okspitalde nöronal migrasyon anomalilik	Sol TO> Sag P	+0.10
005	A.A	180	E	Sek. Jeneralize	Sağ F	N	Yok	Sağ FPT	-0.18
006	A.F	144	K	KPN	N	N	Yok	N	0.00
007	S.A	192	E	KPN	N	Yok	N	N	0.00
008	S.B	084	E	Sek. Jeneralize	N	N	Yok	N	0.00
009	S.D	060	E	Sek. Jeneralize	Sol P sağ S	Sol parietokspital gliosis	Sol parietokspital gliosis	Sol P>Sag POT	+0.30
010	S.D	108	E	KPN	N	N	N	N	0.00
011	T.S	084	K	KPN	N	N	N	N	0.00
012	S.T	126	E	Sek. Jeneralize	Sol O	N	Sol okspital> sağ parietokspital gliosis	N	0.00
013	M.D	156	E	KPN	Sol P	Yok	N	Sol PO	+0.16
014	Y.Y	120	E	KPN	Bilateral PO	Yok	N	N	0.00
015	C.A	084	E	Sek. Jeneralize	N	Yok	Sol temporohipoparietal gliosis	Sol TO	+0.13
016	K.K	134	E	KPN+ Sek. Jeneralize	N	Yok	N	N	0.00
017	S.K	084	E	Sek. Jeneralize	N	N	Yok	N	0.00
018	U.G	042	E	Sek. Jeneralize	Sağ FS	Yok	Serebral atrofi	N	0.00
019	F.K	192	K	KPN	N	N	N	N	0.00
020	F.U	072	E	KPN+ Sek. Jeneralize	Sağ T	Sağ temporohipoparietal	Sağ temporohipoparietal	N	0.00
021	U.E	192	E	KPN+ Sek. Jeneralize	N	N	N	N	0.00
022	B.Y	192	K	KPN	N	N	Yok	N	0.00

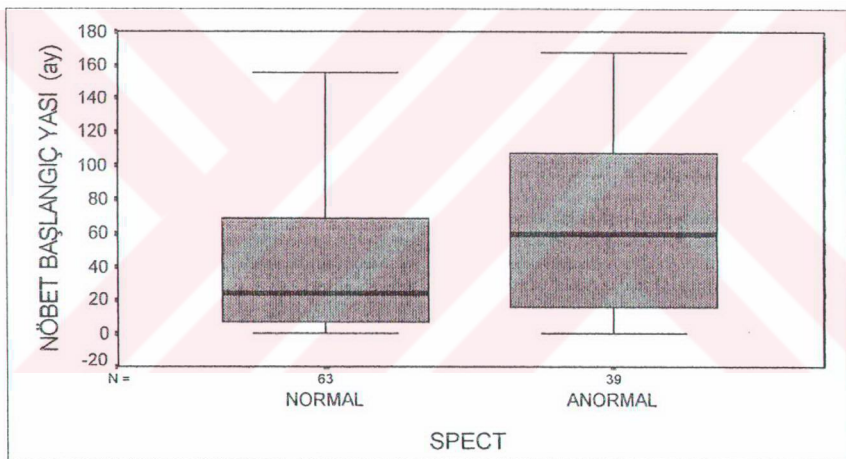
023	K.Ö	033	E	Sek. Jeneralize	N	N	N	N	0.00
024	F.A	084	K	Sek. Jeneralize	Sol SP	N	Yok	N	0.00
025	Ş.Ç	204	E	Sek. Jeneralize	Sol F	Sol frontal gliosis	Sol frontal gliosis	Sol F	+0.28
026	Ö.O	084	E	KPN+ Sek. Jen	Sol P	N	N	N	0.00
027	N.C	216	K	KPN+ Sek. Jen	Sol O	Sol parietal gliosis	Sol parietal gliosis	Sol P	+0.30
028	G.G	108	K	Sek. Jeneralize	Sag PO	N	N	N	0.00
029	M.K	084	K	Sek. Jeneralize	Sol S	N	N	N	0.00
030	M.S	084	K	Sek. Jeneralize	Sol TO	N	N	N	0.00
031	M.P	060	E	KPN	Sol SP	N	Yok	N	0.00
032	N.Y	168	K	KPN	Sag ST	N	N	N	0.00
033	S.Ç	204	K	Sek. Jeneralize	Sol SP	N	N	N	0.00
034	Ş.T	126	E	Sek. Jeneralize	Sol S	N	Yok	N	0.00
035	E.H	060	E	KPN	SK	Serebral atrofi	Yok	N	0.00
036	E.A	072	E	Sek. Jeneralize	Sol PO	N	N	N	0.00
037	E.B	132	K	KPN+ Sek. Jen	SK	N	N	Sag P	-0.12
038	C.Ş	168	K	KPN+ Sek. Jen	N	Yok	N	Sol P	+0.16
039	F.U	180	K	KPN	Sag O	Bilateral okspital gliosis	Yok	Sag O	-0.20
040	Ş.B	084	K	Sek. Jeneralize	N	N	N	N	0.00
041	M.D	102	E	Sek. Jeneralize	Sag FS	Serebral atrofi	Serebral atrofi	Sag F	-0.22
042	M.T	180	E	Sek. Jeneralize	N	Yok	N	N	0.00
043	E.S	156	E	Sek. Jeneralize	N	Sol okspital gliosis	Sol okspital gliosis	Sol O	+0.20
044	İ.B	168	E	KPN+ Sek. Jen	Sag S	N	N	N	0.00
045	B.Ç	060	E	Sek. Jeneralize	SK	Serebral atrofi	Yok	N	0.00
046	H.K	108	E	Sek. Jeneralize	Sag PO	N	Yok	N	0.00
047	O.K	072	E	Sek. Jeneralize	SK	N	N	N	0.00
048	E.Ç	156	E	KPN+ Sek. Jen	Sag POT	N	N	N	0.00
049	K.E	168	E	Sek. Jeneralize	N	Serebral atrofi	N	Sol FTO	+0.12
050	M.Y	132	E	KPN	Sol FT	N	N	Sol FT	+0.22
051	Y.D	048	K	Sek. Jeneralize	Sag PO	Yok	N	Sag PO	-0.28
052	O.K	132	K	KPN	N	Yok	N	Sag P	-0.12
053	H.C	168	E	KPN	Sol FS	N	N	Sol F>Sag OT	+0.12
054	C.D	120	E	KPN	N	N	N	N	0.00
055	F.S	120	E	KPN	N	N	Yok	Sol P	+0.22
056	S.T	144	E	Sek. Jeneralize	N	Yok	Frontal atrofi	N	0.00
057	F.G	204	E	KPN+ Sek. Jen	N	Serebral atrofi	Serebral atrofi	N	0.00
058	A.A	192	E	KPN	N	N	N	N	0.00
059	O.Y	168	E	Sek. Jeneralize	Sag P	Yok	N	Sag>Sol POT	-0.20
060	A.K	144	K	KPN	N	N	N	N	0.00
061	F.E	108	E	KPN	N	N	N	Sag mesial T	-0.12
062	T.K	084	E	KPN+ Sek. Jen	N	N	N	Sag F	-0.11
063	E.K	132	E	BP'N	Sol P	N	Sol parietal gliosis	Sol P	+0.16
064	U.A	132	K	KPN	Sag FT	N	Yok	N	0.00
065	A.Y	132	K	BP'N	N	N	N	N	0.00
066	A.E	096	E	Sek. Jeneralize	Sol F	N	Bilateral fontoparietokalpital gliosis	N	0.00
067	F.E	204	K	KPN	Sag MF	Yok	N	N	0.00
068	B.D	216	E	Sek. Jeneralize	Sag FT	Yok	N	Sag FTP	-0.18
069	Z.Ç	168	K	Sek. Jeneralize	N	N	N	Sol>Sag POPT	+0.18
070	G.S	192	K	KP	N	N	N	Sol T	+0.22
071	M.D	132	E	KP	SK	N	N	Sol P	+0.16
072	C.K	120	K	Sek. Jeneralize	N	Sol orta fossa araknoid kist	Sol orta fossa araknoid kist	N	0.00
073	S.U	204	K	Sek. Jeneralize	Sag MF	N	N	N	0.00
074	A.Ç	204	K	Sek. Jeneralize	N	Serebral atrofi	Serebral ve cerebellar atrofi	Sol P	+0.13

075	O.Y	096	E	KP	Sağ FS	Serebral atrofi	Yok	N	0.00
076	Y.Y	156	E	BP	Sağ PO	N	Sol parietoksipital doku kaybı	Sol P	+ 0.13
077	E.G	042	E	KPN+ Sek. Jen	N	Serebral atrofi	Yok	N	0.00
078	M.D	108	K	Sek. Jeneralize	Bilateral PO	N	N	N	0.00
079	S.K	132	K	Sek. Jeneralize	Sağ SP	N	Yok	N	0.00
080	E.A	060	K	Sek. Jeneralize	Bilateral FT	N	Yok	N	0.00
081	V.Ö	072	E	KP	Bilateral FS	N	N	Sağ>Sol F	-0.21
082	F.Z	156	E	KPN+ Sek. Jeneralize	Sol FT Sağ P	N	Sol mesial temporal sklerozis	Sol T	+0.17
083	S.K	060	K	Sek. Jeneralize	Sol P	N	N	N	0.00
084	A.E	180	K	Sek. Jeneralize	SK	N	N	Sağ>Sol OTP	-0.30
085	H.K	192	K	Sek. Jeneralize	Sol FT	N	N	Sol FT	+0.19
086	M.Y	036	E	Sek. Jeneralize	Sol MF Sağ FS	Serebral atrofi	Serebral atrofi	Sol F	+0.24
087	I.K	084	E	KP	Sol FS	N	N	N	0.00
088	T.K	144	E	KPN+ Sek. Jen	Sol FP	N	N	Sol FP	+0.21
089	A.Ö	018	K	Sek. Jeneralize	Sağ FP Sag F	Bilateral frontoparietal gliosis	Bilateral frontoparietal gliosis	Sağ>Sol FP	-0.28
090	A.M	108	K	Sek. Jeneralize	Sol FT	N	N	N	0.00
091	G.Y	156	E	KPN	Sol FT	Serebral atrofi	Yok	Sol FT	+0.13
092	M.B	030	E	Sek. Jeneralize	Sag MF	N	Yok	N	0.00
093	Y.B	072	E	KPN	Sol PO	N	N	N	0.00
094	C.S	156	E	KPN	N	N	N	N	0.00
095	F.E	204	K	KPN	Sağ MF	N	Yok	N	0.00
096	M.B	192	K	Sek. Jen	N	N	N	N	0.00
097	A.K	144	K	KPN+ Sek. Jen	Sol T	Yok	N	N	0.00
098	S.K	180	K	KPN	N	N	N	N	0.00
099	E.M	118	K	KPN	N	N	N	N	0.00
100	N.A	132	K	KPN	Sol T	N	Yok	N	0.00
101	S.K	108	E	Sek. Jeneralize	Sol F	N	Sağ frontal laktiner lezyon	Sağ F>Sol F	-0.19
102	A.Y	132	K	BPN	Sağ O	N	Yok	N	0.00

Hastalar SPECT'i normal ve anomal olmak üzere iki gruba ayırdıktan sonra, bu iki grup nöbet başlangıç yaşı, SPECT yaşı, son nöbet ile SPECT arası süre, epilepsi süresi ortalamaları yönünden karşılaştırıldı. Sadece nöbet başlangıç yaşı iki grup arasında önemli farklılık gösterdi ( $p<0.05$ )(Tablo VI)(Şekil 10).

Tablo VI . Bazı klinik parametrelerle SPECT bulguları arasındaki ilişki

	TÜM HASTA GRUBU	SPECT (NORMAL)	SPECT (ANORMAL)	P
NÖBET BAŞLANGIÇ YAŞI(ay) Ort±SS - Median (min-maks)	52.22±51.05 33(1-168)	44.24±47.22	65.13±54.89	0.044
SPECT YAŞI (ay) Ort±SS - Median (min-maks)	128.5±50.41 132(18-216)	120.81±49.64	140.92±49.76	0.053
SON NÖBET İLE SPECT ARASI SÜRESİ (gün) Ort±SS - Median (min-maks)	225.86±283.43 90(1-900)	264.87±301.48	162.85±242.11	0.06
EPİLEPSİ SÜRESİ (ay) Ort±SS - Median (min-maks)	75.35±51.28 68(13-198)	75.08±50.92	75.79±52.53	0.90



ŞEKİL 10. Nöbet başlangıç yaşı ile SPECT arasındaki ilişki

Hastalar nöbet tiplerine göre gruplandırıldığında, bu nöbet tipleri arasında SPECT anormalliliğinin yüzdeleri yönünden anlamlı bir fark olmadığı saptandı ( $p>0.05$ )(Tablo VIIA). Ayrıca SPECT'i anormal olan nöbet tipi grupların aktivite indeksi (A.I.) ve lateralite indeksi (L.I.) ortalamaları arasında anlamlı fark yoktu ( $p>0.05$ )(Tablo VIIIB).

Tablo VIIA. Nöbet tipleri ile SPECT arasındaki ilişki

Nöbet Tipi	SPECT			
	NORMAL		ANORMAL	
	Sayı	%	Sayı	%
KPN	24	38	11	28.2
KPN+Sek. Jeneralize	9	14.2	7	17.9
Sek. Jeneralize	28	44.5	19	48.7
Basit Parsiyel	2	3.3	2	5.2
P		0.70		

Tablo VIIIB. Nöbet tipi ile Aİ ve Lİ arasındaki ilişki

Nöbet Tipi	Aİ (Ortalama±SD)	Lİ (Ortalama±SD)
KPN	0.7982±0.0874	11.78±3.95
KPN+Sek. Jeneralize	0.8614±0.0593	20.66±11.69
Sek Jeneralize	0.8337±0.0964	21.284±6.98
BPE	0.8000±0.0556	19.60±3.96
P	0.47	0.20

Hastalar nöbetleri refrakter olan ve olmayan diye iki gruba ayrıldı. Bu iki grup arasında SPECT anomalliliği yüzdesi veya hipoperfüzyon multifokal özellik gösterme yüzdesleri yönünden anlamlı fark saptanmadı ( $p>0.05$ )(Tablo VIII). Yine bu iki grubun A.I. ve L.I. ortalamaları arasında anlamlı fark bulunamadı ( $p>0.05$ )(Tablo IX).

Tablo VIII. SPECT anomallığının ve hipoperfüzyonun niteliğinin nöbetlerin refrakter olup olmaması ile ilişkisi

	SPECT				HİPOPERFÜZYON			
	ANORMAL		NORMAL		MONOFOKAL		MULTİFOKAL	
	Sayı	%	Sayı	%	Sayı	%	Sayı	%
REFRAKTER	14	35.9	13	20.6	5	25	9	47.4
REKRAKTER DEĞİL	25	64.1	50	79.4	15	75	10	52.6
P	0.089				0.08			

Tablo IX. Nöbetlerin refrakter olma özelliği ile Aİ ve Lİ arasındaki ilişki

	Aİ (Ortalama±SD)	Lİ (Ortalama±SD)
REFRAKTER	0.8007±0.069	18.67±4.94
REFRAKTER DEĞİL	0.8304±0.097	21.67±9.83
P	0.74	0.60

Hastalar nöbet sıklığına göre üç gruba ayrıldı. Bu gruplar arasında SPECT anormalliği yüzdeleri yönünden anlamlı fark bulunamadı ( $p>0.05$ )(Tablo X).

Tablo X. Nöbet sıklığı ile SPECT bulguları arasındaki ilişki

Nöbet Sıklığı (Nöbet sayısı/ay)	SPECT					
	NORMAL		ANORMAL		TOPLAM	
Sayı	%	Sayı	%	Sayı	%	
0	37	58.7	16	41	53	52
0.3-5	8	12.7	5	12.8	13	12.7
5 üzeri	18	28.6	18	46.2	36	35.3
	63	100	39	100	102	100
P			0.11			

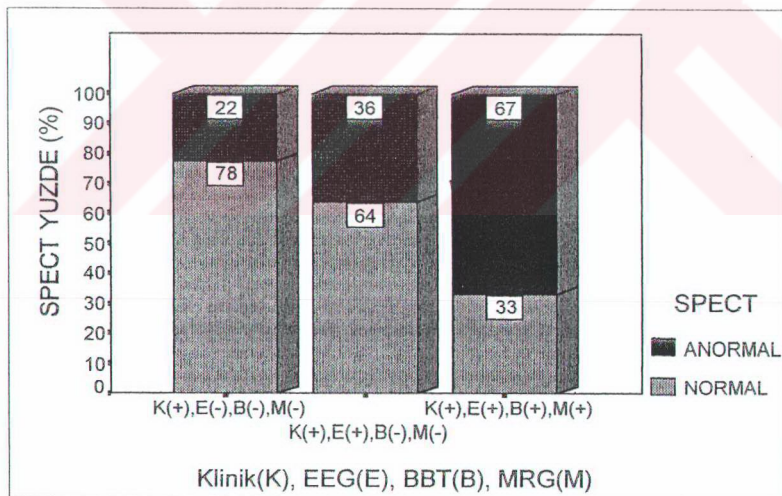
Hastalar klinik, EEG, BBT ve MRG bulguları pozitifliği yönünden üç gruba ayrıldı. Bu üç grup arasında SPECT anormalliği yüzdeleri yönünden anlamlı fark olduğu, bu paremetrelerde pozitiflik arttıkça SPECT anormalliği yüzdesinin arttığı gözlandı ( $p<0.05$ )(Tablo XI)( Şekil 11 ).

Tablo XI. Klinik, EEG, MRG, BBT ve SPECT anormallikleri arasındaki ilişki

SPECT	KLİNİK(+), EEG(N), MRG (N) BBT(N)		KLİNİK(+), EEG(AN), MRG(N), BBT(N)		KLİNİK(+), EEG(AN), MRG(AN) veya BBT(AN)	
	Sayı	%	Sayı	%	Sayı	%
Normal	14	78	16	64	7	33
Anormal	4	<u>22</u>	9	<u>36</u>	14	<u>67</u>
Toplam	18	100	25	100	21	100
P	P1: 0.33		P2: 0.038			

$P_1$  : Sadece klinik (+) olan vakalardaki SPECT anormalliği yüzdesi ile klinik ve EEG anormalliği olan vakalardaki SPECT anormalliği yüzdeleri (altı çizgili yüzdelere) arasındaki farkın P değeri.

$P_2$  : Klinik ve EEG anormal olan vakaların SPECT anormallik yüzdesi ile EEG, radyolojik anormal olan vakaların SPECT anormal yüzdesinin (altı çizgili yüzdelere) karşılaştırılan P değeri



Şekil 11. Klinik, EEG, BBT, MRG ile SPECT anormalliği %'si arasındaki ilişki

SPECT bulgusu normal ve anormal olan gruplar arasında EEG anormalliği yüzdeleri yönünden önemli fark olmadığı ( $p>0.05$ ), ancak BBT ve MRG anormalliği yüzdeleri yönünden anlamlı fark olduğu, SPECT'i anormal olan grupda daha yüksek oranda BBT-MRG anormallliği mevcut olduğu saptandı ( $p<0.05$ )(Tablo XII ) ( Şekil 12, 13).

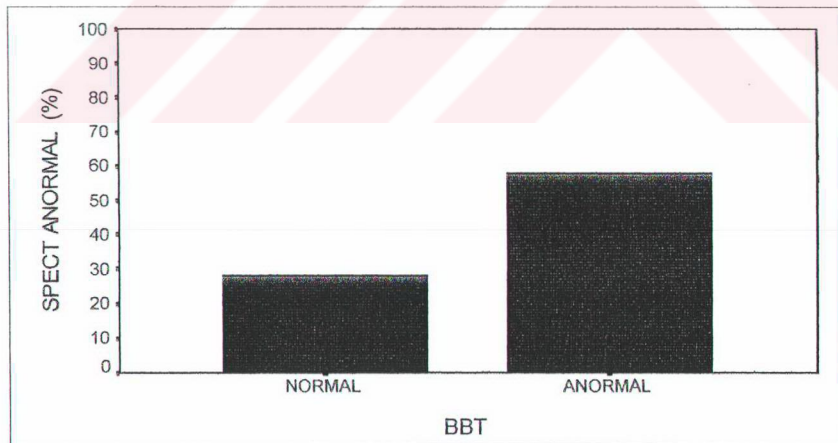
Tablo XII. EEG, BBT, MRG, SPECT anormallikleri arasındaki ilişki.

SPECT	EEG				BBT				MRG			
	NORMAL		ANORMAL		NORMAL		ANORMAL		NORMAL		ANORMAL	
	Sayı	%	Sayı	%	Sayı	%	Sayı	%	Sayı	%	Sayı	%
Normal	25	69	38	67	48	71.6	8	42	36	64.2	7	31.8
Anormal	11	<u>31</u>	28	<u>33</u>	19	<u>28.4</u>	11	<u>58</u>	20	<u>35.8</u>	15	<u>68.2</u>
Toplam	36	100	66	100	67	100	19	100	56	100	22	100
P	P1: 0.63				P2: 0.037				P3: 0.008			

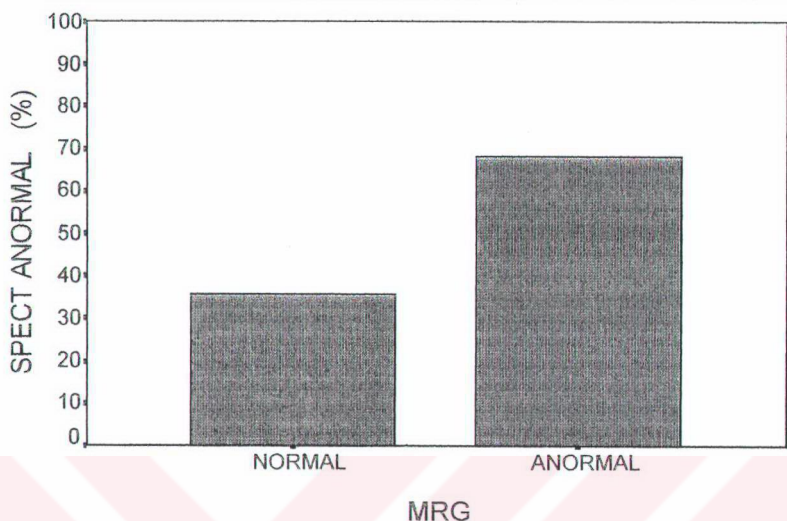
P1: EEG'si normal ve anormal gruplar arasındaki SPECT anormallığının yüzdelerini (altı çizili yüzdeler) karşılaştırın P değeri

P2: BBT'si normal ve anormal olan gruplar arasındaki SPECT anormallığının yüzdelerini (altı çizili yüzdeler) karşılaştırın P değeri.

P3: MRG'si normal ve anormal olan gruplar arasındaki SPECT anormallığının yüzdelerini (altı çizili yüzdeler) karşılaştırın P değeri.



ŞEKİL 12. BBT anormalliği ile SPECT anormalliği arasındaki ilişki



ŞEKİL 13. MRG anormalliği ile SPECT anormalliği arasındaki ilişki

İnteriktal EEG’i normal veya subkortikal deşarjları olan ve BBT ve/veya MRG’i normal olan 34 hastanın 11’inde (%32) SPECT lokalize hipoperfüze alan gösterdi.

SPECT-EEG, SPECT-MRG, EEG-MRG uyum ve uyumsuzluk yönünden karşılaştırıldığında, SPECT ile MRG arasında iyi bir uyum olduğu, SPECT-EEG, EEG-MRG arasında uyum olmadığı gözlandı (Tablo XIII).

Tablo XIII. SPECT, EEG, MRG arasındaki (+) uyum, (+) uyumsuzluk, (-) uyum ve (-) uyumsuzluk

	(+)		UYUM		(-)		UYUMSUZLUK		(-)		TOPLAM	
	Sayı	%	Sayı	%	Sayı	%	Sayı	%	Sayı	%	Sayı	%
SPECT-EEG	23	<u>22.5</u>	25	<u>24</u>	5	<u>4.9</u>	49	<u>53</u>	102	100		
SPECT-MRG	12	<u>15.3</u>	36	<u>46.1</u>	3	<u>3.8</u>	27	<u>34.8</u>	78	100		
EEG-MRG	11	<u>14.1</u>	24	<u>30.7</u>	4	<u>6.2</u>	38	<u>50.1</u>	78	100		
P	P1: 0.3		P2: 0.004		P3: 0.76		P4: 0.10					

P1: SPECT-EEG, SPECT-MRG, EEG-MR arasındaki (+) uyum yüzdelerini (altı çizili yüzdeler) karşılaştırılan P değeri

P2: SPECT-EEG, SPECT-MRG, EEG-MR arasındaki (-) uyum yüzdelerini (altı çizili yüzdeler) karşılaştırılan P değeri

P3: SPECT-EEG, SPECT-MRG, EEG-MR arasındaki (+) uyumsuzluk yüzdelerini (altı çizili yüzdeler) karşılaştırılan P değeri

P4: SPECT-EEG, SPECT-MRG, EEG-MR arasındaki (-) uyumsuzluk yüzdelerini (altı çizili yüzdeler) karşılaştırılan P değeri

Hastalar SPECT normal - anormal ve EEG normal-anormal olarak grüplendirildikten sonra, bu gruplar arasında MRG'de belirlenen mesafe oranlarını ortalamaları yönünden anlamlı fark saptanmadı ( $p>0.05$ )(Tablo XIV ).

Tablo XIV. MRG de belirlenen mesafe oranlarının ortalamalarının SPECT ve EEG anormalliği ile ilişkisi.

MRG

	b1/b2	a1/a2	a1/c	b1/c	a2/c	b2/c						
ECT (N)	1.038±0.101	1.062±0.126	0.117±0.016	0.204±0.026	0.112±0.021	0.198±0.023						
ECT N)	1.005±0.085	1.021±0.151	0.118±0.028	0.204±0.027	0.117±0.030	0.204±0.028						
IG (N)	1.025±0.097	1.018±0.133	0.116±0.019	0.201±0.019	0.115±0.021	0.196±0.017						
IG (AN)	1.073±0.092	1.035±0.142	0.119±0.025	0.201±0.019	0.114±0.029	0.204±0.031						
S pE	0.13	0.57	0.20	0.20	0.85	0.59	0.90	0.38	0.36	0.88	0.23	0.13

pS: SPECT normal ve anormal gruplara ait ortalamaları karşılaştırın p değerleri

pE: EEG normal ve anormal gruplara ait ortalamaları karşılaştırın p değerleri

## 5. TARTIŞMA

Biz yaptığımız çalışmada parsiyel ve/veya sekonder jeneralize nöbetli epileptik çocuklarda BBT anormallliğini %20, MRG anormallliğini %28, interiktal SPECT anormallliğini %38.2 ve interiktal EEG anormallliğini %65 oranda saptadık. Literatürde bu oranlar interiktal EEG için %71-81 oranında (11,20,35,49), BBT için % 22-45 oranında (1,3,11,35,43,48,49), MRG için % 20-86 oranında (1,3,11,12,15,20,35,43,48,49) ve interiktal SPECT için % 43-95 oranında (2,3,11,12,15,17,23,33,35,42,48,49) bildirilmektedir. Bizim EEG'de anormallik yüzdemiz (% 65) literatürde bildirilenden biraz düşük gözükmemektedir. Normal EEG bulgusu en fazla limbik sistemden kaynaklanan kompleks parsiyel nöbetlerde (%25 kadar) görülür. EEG anormallliğini %81 olarak bildiren Vles ve arkadaşlarının(49) hasta popülasyonunda KPN'i olup EEG'si normal olan hasta oranı %10, bizde ise bu oran %20'dir. Yani popülasyonların farklılığı bu farkı açıklar gözükmemektedir. Aynı fark BBT, MRG ve SPECT için de söz konusudur. Yani bu üç görüntüleme yönteminde de anormallik oranları bizim çalışmamızda literatürde bildirilen oranlardan daha düşüktür. Burada da hasta popülasyonlarının farklı olması söz konusudur. Literatürde bildirilen sonuçlar daha çok refrakter nöbeti olup epilepsi cerrahisine aday hasta popülasyonlarının sonuçlarıdır. Ayrıca adult hastalarda BBT anormallığının daha yüksek oranda olması bu sarka katkıda bulunuyor olabilir. Biz hastalarımızın 27'sini (%26) refrakter nöbetli hasta olarak belirledik. Ancak bu hastaların bile bir kısmının cerrahi adayı hasta olmadığı söylenebilir. Bu da sonuçlarımızın literatür sonuçlarından farklılığını katkıda bulunuyor olabilir.

Ayrıca bizim %10'dan fazla olan hipoperfüzyon asimetrisini anormal kabul etmemiz SPECT anormallığı oranımızın düşük olmasına neden olabilir. Nitekim Cordes ve arkadaşları da (11) %10 üzerindeki hipoperfüzyon asimetrisini anormal kabul ederek fokal epilepsili erişkinlerde bu oranı %46 olarak bildirmiştir. Rowe ve arkadaşları (40) ise temporal lop epilepsili erişkinlerde yaptıkları çalışmada asimetri standart sapması değeri arttıkça SPECT'e ait hassasiyetin azaldığını ancak özgürlüğün arttığını bildirmiştir.

Bilindiği gibi SPECT'de hiperperfüzyon iktal döneminin, hipoperfüzyon interiktal döneminin bulgusudur. Biz çalışmamızda interiktal olarak elde ettiğimiz SPECT görüntülerinin hiçbirinde hiperperfüzyona rastlamadık. Bazı çalışmalarında hastalara uygulanan interiktal SPECT'de büyük oranda hipoperfüzyon saptanmakla birlikte bir kısmın hastanın SPECT'inde hiperperfüzyon veya hipoperfüzyon ve hiperperfüzyon birlikte saptanmaktadır (16). İnteriktal dönemde hiperperfüzyon bulgusu SPECT çekiminin nöbetden kısa süre sonra yapılmış olmasına (38) veya çekim öncesi gece hastanın subklinik nöbet

geçirmiş olmasına bağlanmaktadır. Örneğin temporal lop epilepsili 40 erişkin hastada yapılan bir çalışmada hiperperfüzyon saptanan 12 hastanın 7'sinde çekim nöbetden 12-24 saat sonra yapılmıştır (16). Ayrıca Lang ve arkadaşları (32) yaptıkları çalışmada 2-6 haftalık bir süreçte iktal hiperperfüzyondan interiktal hipoperfüzyona geçiş olduğunu göstermişlerdir.

Hastalarımızda nöbet başlangıç yaşı, SPECT yaşı, son nöbet ile SPECT arası süre ve epilepsi süresi gibi parametrelere SPECT anormalliği arasındaki ilişkiyi inceledik ve nöbet başlangıç yaşı yüksek olan grupda SPECT anormallığının daha fazla olduğunu saptadık. Bu ilişkiyi araştıran iki çalışma (12,16) nöbet başlangıç yaşı, epilepsi süresi, SPECT yaşı ve nöbet sıklığı ile SPECT anormalliği arasında ilişki olmadığını bildirmekle beraber, Rowe ve arkadaşları (40) erişkinlerde yaptıkları çalışmada nöbet başlangıç yaşı ile SPECT anormallığının derecesi arasında zayıf ve ters bir korelasyon bulmuşlardır. Duncan ve arkadaşları (17) ise sadece epilepsi süresinin SPECT anormallliğini etkilediğini ve anormal SPECT'i olanlarda epilepsi süresinin daha uzun olduğunu buldular.

Nöbetleri refrakter olan grupla refrakter olmayan grup arasında SPECT anormallığı yönünden anlamlı bir fark bulmadık. Keza refrakter olma ile yakından korele olduğu düşünülen nöbet sıklığının da SPECT anormallığı ile anlamlı bir ilişkisinin olmadığını saptadık. Literatürdeki diğer çalışmalar da bizim bu bulgumuzu desteklemektedir (12,16,17,40).

Biz çalışmamızda SPECT'i normal ve anomal olan gruplar arasında EEG anormallığı yüzdeleri yönünden bir fark bulamadık, ancak BBT ve MRG anormalligi yüzdeleri yönünden önemli fark olduğunu, SPECT'i anomal olan grupta BBT ve MRG anormallığının daha fazla olduğunu saptadık. Bu SPECT'in MRG ile interiktal EEG'den daha yakın bir korelasyon içinde olduğunu işaret etmektedir. Nitekim bu bulgu SPECT-MRG arasındaki (-) uyum oranın SPECT-EEG arası (-) uyum oranından daha yüksek olması bulgusu ile desteklenmektedir. Mitsuyoshi ve arkadaşları (35) parsiyel epilepsili çocukların yaptıkları çalışmada SPECT anomal grupta EEG anormallliğini % 65, MRG anormallliğini %70 olarak bildirmiştir. Ancak bunun aksini bildiren yayınlar da mevcuttur (20,49). Örneğin Feggi ve arkadaşları (20) SPECT-EEG arasında %20'lük pozitif bir uyum bulmuşlardır. Bu çalışmaların her ikisi de çocuk popülasyonda yapılmıştır.

Uzun çekimli video-telemetri imkanının bulunmadığı yerlerde epilepsi tanısı aileden alınan nöbet öyküsü ve hastanın interiktal EEG'sine dayandırılmaktadır. Nöbetin doğru tanımlanmasında ailenin entelektüel durumu önem taşımaktadır. Bazan bu tanım yetersiz yapılmakta ve hekim sadece öyküye dayandırıldığı tanıdan kuşku duymaktadır. İnteriktal EEG

ise özellikle KPN'lerde %20-25 oranda normal olabilmektedir. İşte böyle durumlarda eğer hastayı uzun süre monitorize etme imkanı da yoksa epilepsi tanısı için hekim başka yardımcı laboratuvar araçlarından yararlanmak ihtiyacı duyar. Önceleri BBT ve MRG'ye başvurulurken şimdilerde interiktal SPECT'de tanıyı teyid edici bilgi verebilmektedir. Ayrıca interiktal EEG subkortikal epileptik deşarji olan ve klinik olarak nöbetin fokal mı, jeneralize mi olduğunu ayırdedilmediği durumlarda interiktal SPECT'de hipoperfüzyon gösterilmesi nöbetin fokal olduğu konusunda teyid edici bilgi elde edilebilir (48). Bu bağlamda SPECT'in taniya ilave katkısını araştırdık ve %32 oranda ilave bir katkısı olduğunu saptadık (Tablo XI. Şekil 8). Ayrıca klinik, EEG, BBT ve MRG müspetliği arttıkça SPECT anormalliği yüzdesi de önemli oranda artmaktadır. Vites ve arkadaşları (49) çocuk popülasyonda yaptıkları çalışmada bu oranı %28 olarak bulmuşlardır.

Bizim sonuçlarımıza göre interiktal EEG'nın anormal olması SPECT anormallik oranında önemli bir fark yaratmamakta, ancak BBT veya MRG anormallığının önemli oranda daha fazla SPECT anormallığı ile beraber olmaktadır (Tablo XII, Şekil 9,10). Bu ilişki (-) uyumsuzluk oranına yansımamış olmakla beraber, (-) uyum oranına yansımış gözükmemektedir (Tablo XIII). EEG-SPECT (+) uyum oranı literatürde % 20-56 arasında bildirilmektedir (16,17,20,38). Ancak bu oranın yüksek olduğu çalışmalarda (%56) EEG uzun süreli video-telemetri ile hem iktal hem interiktal dönemde elde edilmiştir. Bu da (+) uyum oranının yükselmesine neden olmuştur.

Rezeke edilmiş temporal lop materyellerinin histopatolojik incelemeleri temporal lop epilepsili hastalarda %75 oranda spesifik morfolojik lezyonların varlığını ortaya koymuştur (19,22,28). Bu vakaların % 25'inde lezyon tümör naturünde, % 50'sinde ise hipokampal sklerozistir. Hipokampal sklerozis temporal lobun mediobazal kısmında nöron nekrozu ve glial hücrelerde artıla karakterizedir (45). Sıklıkla aynı taraf temporal lobdaatrofı veya hipoplazi hipokampal sklerozis eşlik eder (8,34,50). Hipokampal sklerozisi her ne kadar MRG'de T<sub>2</sub> ağırlıklı kesitlerde tespit etmenin mümkün olduğu bildiriliyorsa da, histopatolojik olarak sonradan kanıtlanmış hafif gliotik lezyonların MRG'de tespit edilemediği de bildirilmiştir (37). Örneğin yapılan bir çalışmada histopatolojik olarak sonradan kanıtlanmış hipokampal mezial temporal sklerozlu 18 olgunun hiçbirinde MRG'de patoloji saptanmamıştır (46). Dolayısıyla MRG'de saptanan unilateral temporal atrofi o taraftaki hipokampal gliozisi tespit etmesi açısından önemli olabilir. Volumetrik MRG çalışması yapmak her yerde mümkün olmadığı için ve bu düşünceye destek sağlamak amacıyla ile biz de temporal lobda hipoperfüzyonu olan hastaların MRG'sinde temporal lob ve hipokampus

kuturlarının SPECT'i normal olanlardan anlamlı farklılık gösterip göstermediğini araştırmak istedik. Ancak önemli farklılık bulamadık. MRG çekimi esnasında baş pozisyonunun her hastada aynı olmaması ve görüntü asimetrisinde hayli değişkenlik yaratılabilmesi ihtimali açıklayıcı bir faktör olabilir. Ayrıca bizim bu hastalarda hipokampal sklerozis cerrahi sonrası kanıtlama fırsatımız olmadı. O nedenle bu kuturların hipokampal sklerozis konusunda prediktivitesini belirleyebilmek için epilepsi cerrahisi uygulanan merkezlerde aynı araştırmanın yapılması gerektiğini düşündürüyoruz.

Sonuç olarak parsiyel epilepsili çocuk hastalarda interiktal SPECT'in EEG'den çok nöroradyolojik görüntüleme araçları ile daha yakın bir ilişki içinde olduğunu, tanısından kışkı duyulan veya lateralizasyonu belirlenemeyen hastalarda ilave katkı sağladığını söyleyebiliriz.

## **6. SONUÇLAR**

Çocukluk çağı parsiyel epilepsili bir grup hastada klinik, EEG, BBT, MRG ve SPECT bulguları arasındaki ilişkiyi ve uyumu araştırmak amacıyla yaptığımız çalışmada aşağıdaki sonuçları elde ettik.

1. 102 hastanın % 65inde EEG anormal, %22'sinde BBT anormal, %28'inde MRG anormal, %38.2'sinde interiktal SPECT anormal olarak saptandı.
2. İnteriktal SPECT'te hipoperfüzyon saptanan hastaların 20'sinde (%51.2) bu hipoperfüze alan monofokal, 19'unda (%48.1) multifokal, 9'unda (%24) bilateral, 30'unda (%76) unilateral idi.
3. Hipoperfüze alanların anatomik dağılımı aşağıdaki şekilde idi.  
Frontal lob: 17(%43.1)  
Temporal lob: 16(%41)  
Oksipital lob: 12(%31)  
Parietal lob: 19(%49)
4. SPECT'i anormal olan grubun nöbet başlangıç yaşı ortalamasının normal olan grubun nöbet başlangıç yaşı ortalamasından daha büyük olduğu saptandı.
5. Nöbet tiplerine göre hastalar grupperlendirildiğinde SPECT'i anormal olan grupta L.İ. ve A.İ. ortalamaları yönünden farklılık saptanmadı.
6. Nöbetleri refrakter olan ve refrakter olmayan gruplar arasında SPECT anormallik yüzdesi, multifokal hipoperfüzyon yüzdesleri bakımından, L.İ. ve A.İ. ortalamaları yönünden farklılık saptanmadı.
7. Nöbet sıklığı ile SPECT anormalliği arasında anlamlı bir ilişki bulunmadı.
8. Hastalar klinik, EEG, BBT, MRG bulguları pozitifliği arttıkça SPECT anormalligi yüzdesinin arttığı ve arasındaki ilişkinin anlamlı olduğu saptandı.
9. SPECT anormalliği ile EEG anormalliği arasında anlamlı ilişki olmamakla beraber, SPECT anormalliği ile BBT, MRG anormalliği arasında anlamlı ve pozitif bir ilişki olduğu saptandı.
10. SPECT normal-anormal, EEG normal-anormal gruplar arasında MRG aksiyel kesitlerdeki hipokampal ve temporal lob kalınlıklarının ortalamaları yönünden anlamlı bir fark saptanmadı ( $p>0.05$ ).